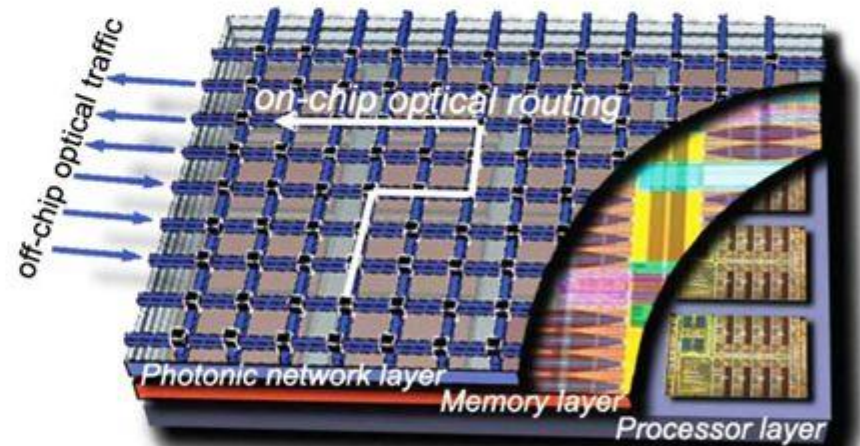
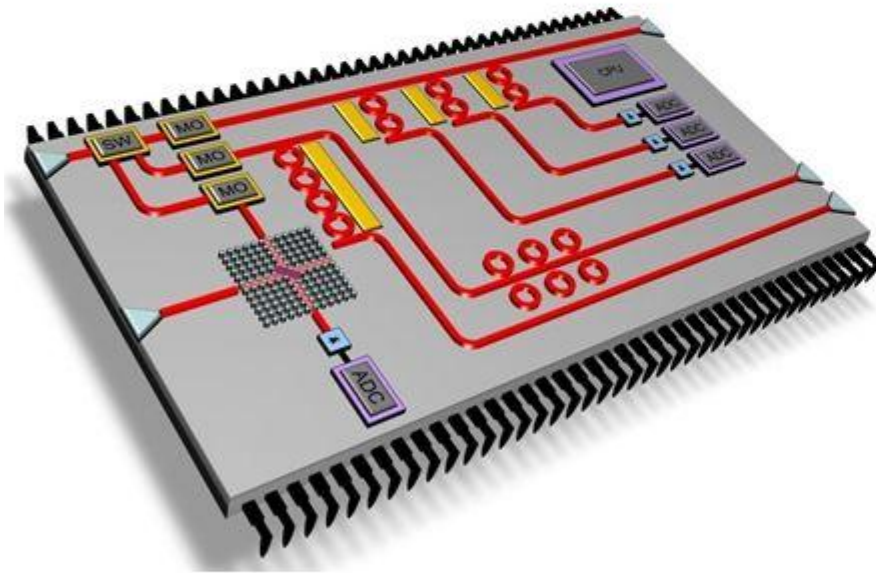


Fotônica Computacional

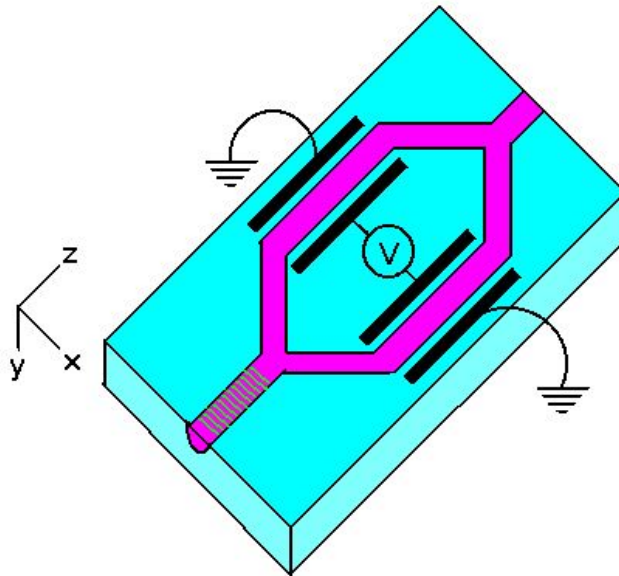


Fotônica Computacional

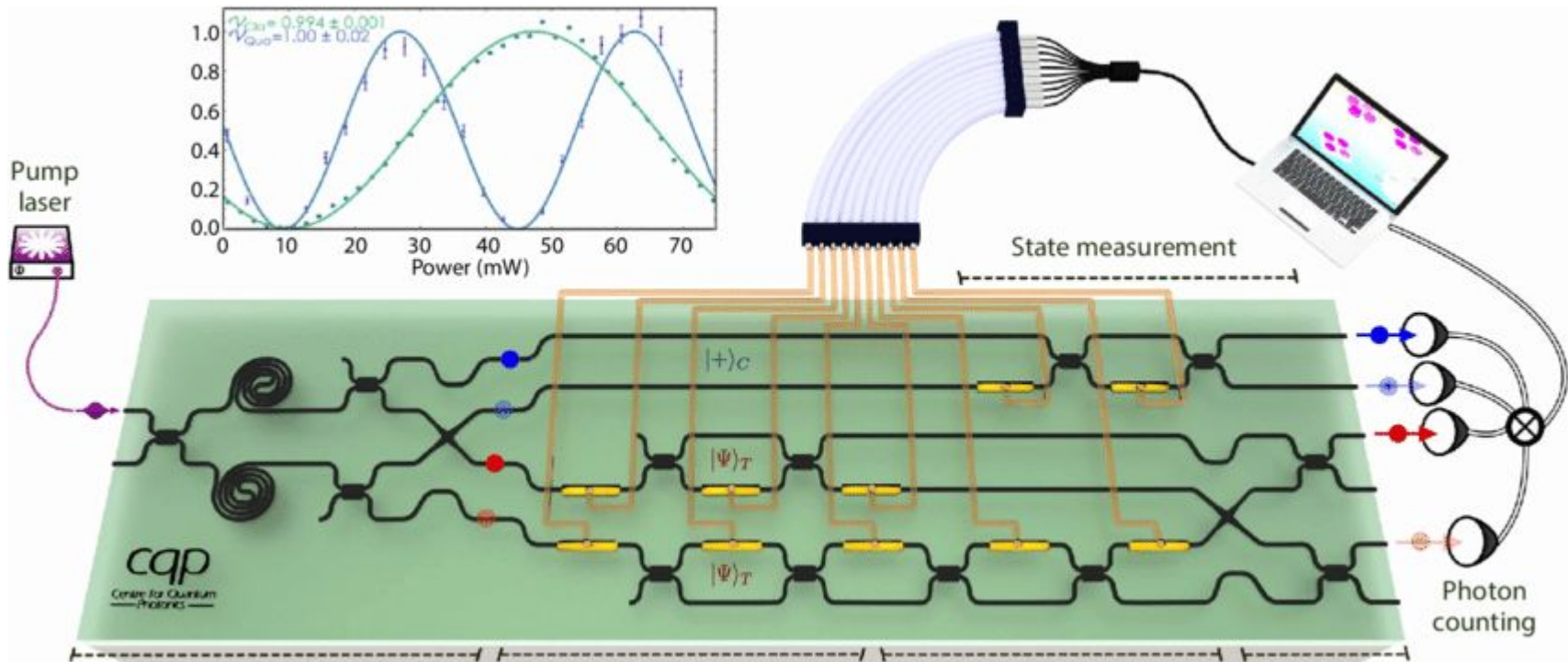
- Fotônica é a ciência da geração, emissão, transmissão, modulação, processamento, amplificação e detecção da luz.
- Fotônica computacional é uma área de conhecimento que usa técnicas computacionais para projetar e simular dispositivos fotônicos.
- A ótica integrada é uma tecnologia altamente dependente da Fotônica computacional em razão da miniaturização dos guias de ondas e componentes

Fotônica Computacional

- guias canais permitem inserir, numa mesma pastilha, vários dispositivos que realizam funções diferentes (moduladores, acopladores, chaves, amplificadores) diminuindo peso, potência dissipada, custo...



Fotônica Computacional



- Necessidade de projetar o guia e saber **quais** modos se propagam (análise modal)
- Necessidade de saber **como** estes modos se propagam (BPM – beam propagation method)

Optica Integrada é uma evolução da óptica discreta

Os circuitos eletrônicos também sofreram evolução

Circuitos a ponte

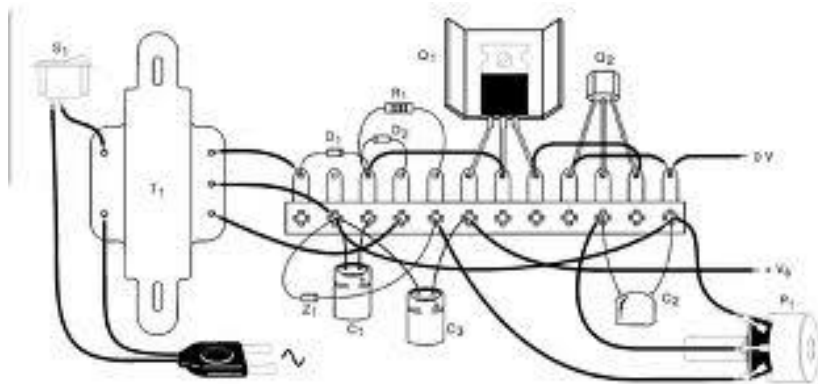


Circuitos impressos

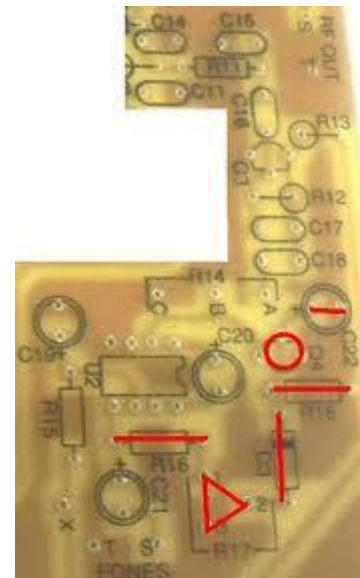
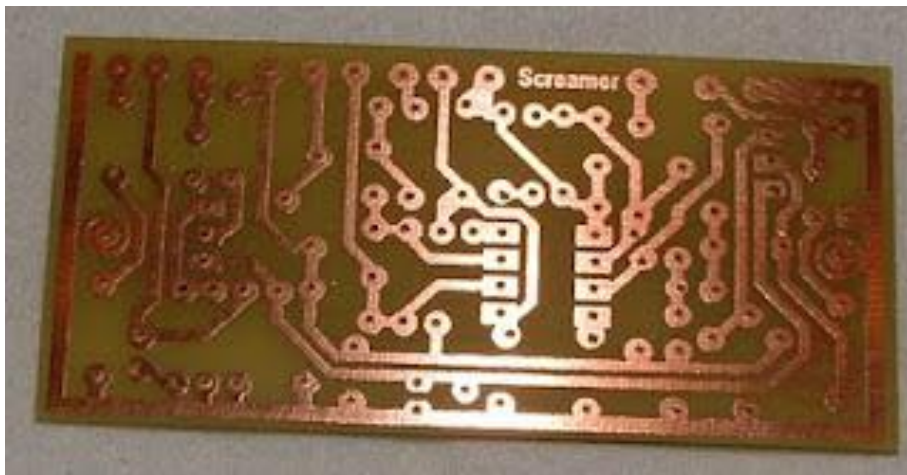


Circuitos integrados

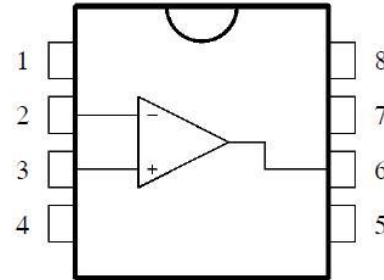
Circuitos a ponte



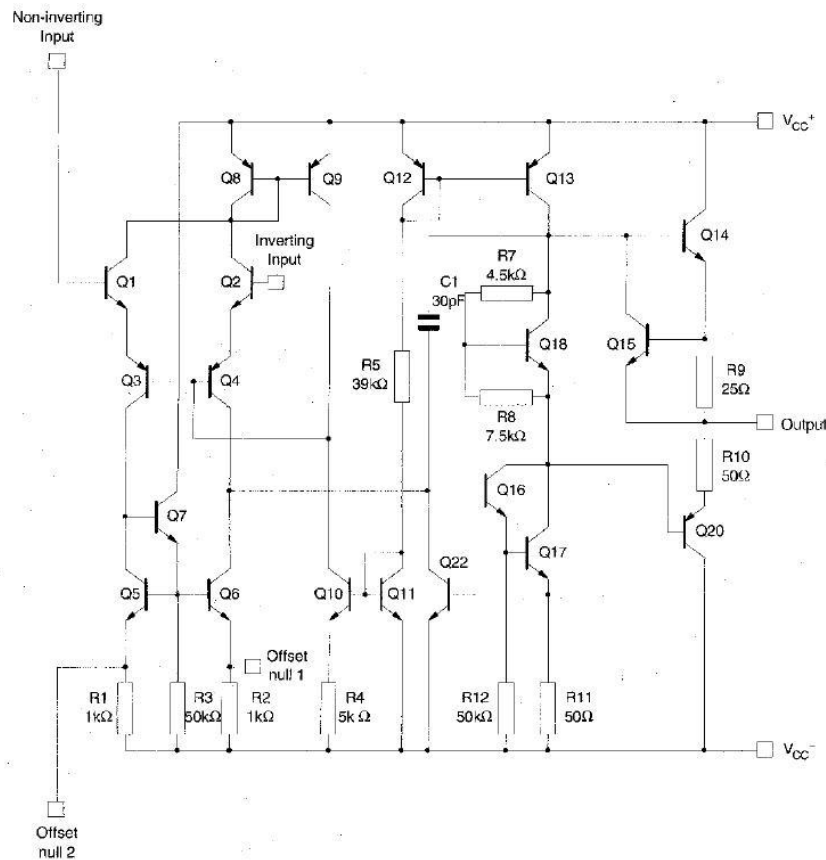
Circuitos impressos



Circuitos integrados



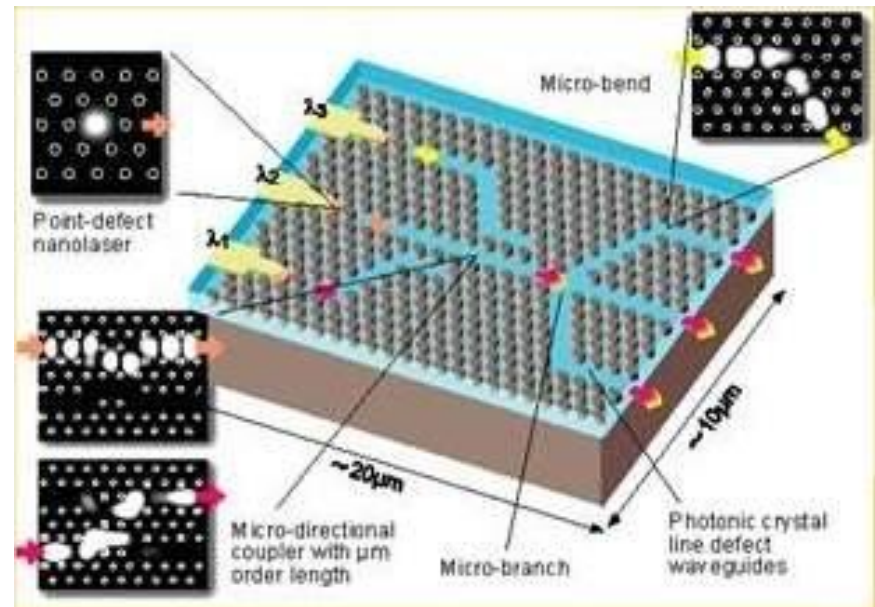
- 1 - Offset null 1
- 2 - Inverting input
- 3 - Non-inverting input
- 4 - V_{CC}^-
- 5 - Offset null 2
- 6 - Output
- 7 - V_{CC}^+
- 8 - N.C.



Circuitos opticos discretos



Circuitos opticos integrados



Multiplexador para redes GPON

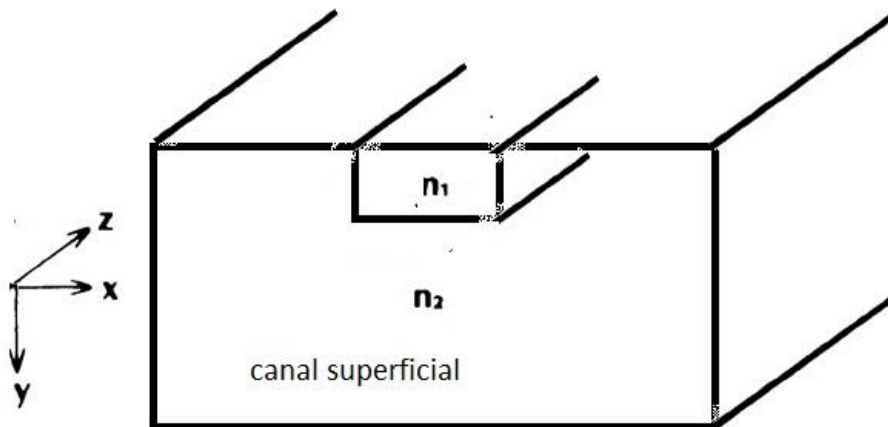
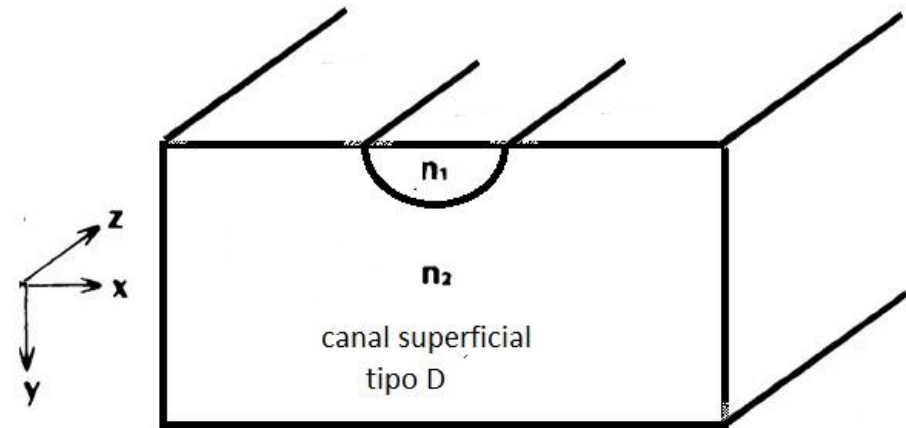
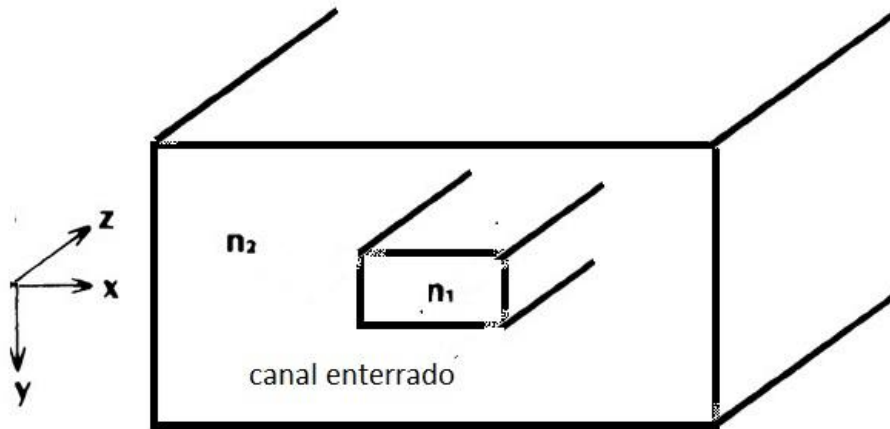
A previsão de como o dispositivo funcionará (simulação) requer a resolução de alguma equação (modelagem) que rege a relação entre os campos envolvidos e o guia de onda

Modelagem...solução da equação de onda

$$\nabla^2 \vec{E} + K^2 \vec{E} = 0$$

Simulação...conhecer os modos propagantes (Análise Modal) e/ou visualizar os campos se propagando (BPM – Beam Propagation Method)

Guia de onda bidimensional



$$\nabla^2 E + K^2 E = 0$$

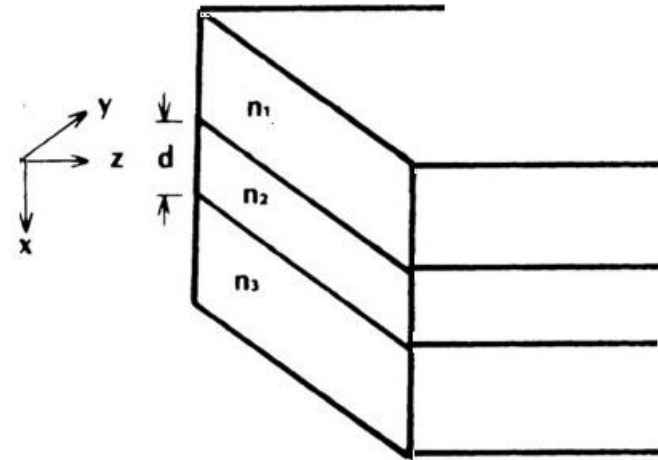
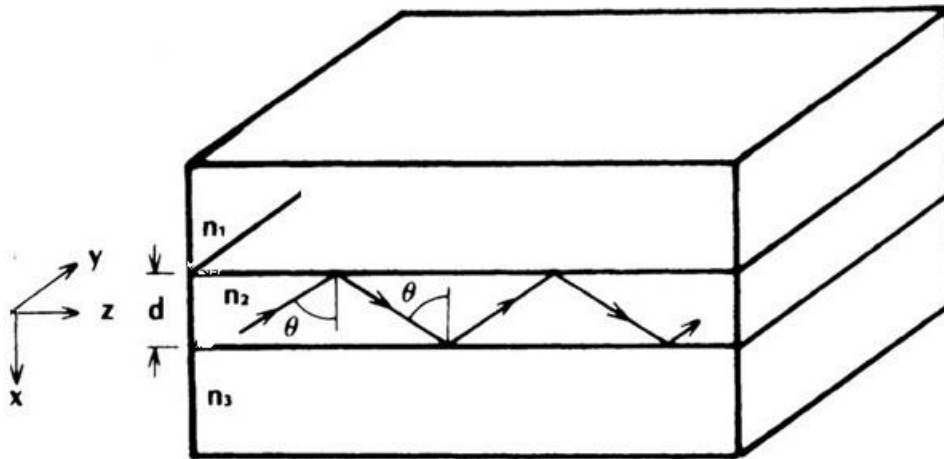
$$\nabla^2 = \frac{\partial^2}{\partial x^2} + \frac{\partial^2}{\partial y^2} + \frac{\partial^2}{\partial z^2}$$

$$\frac{\partial}{\partial x} \neq \frac{\partial}{\partial y} \neq 0$$

**Solução requer resolver
os dois operadores diferenciais**

Devido à variação do guia nas
direções x e y

Guia de onda unidimensional ou planar



**Solução requer resolver
somente um operador diferencial**

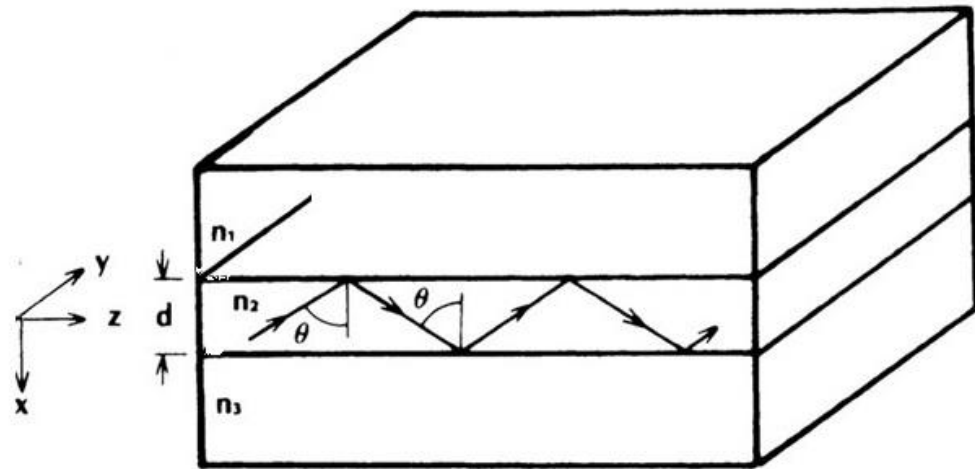
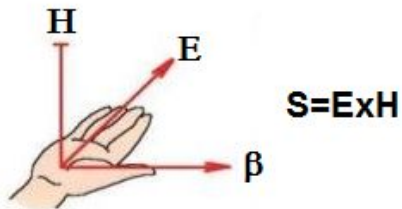
$$\nabla^2 E + K^2 E = 0$$

$$\nabla^2 = \frac{\partial^2}{\partial x^2} + \frac{\partial^2}{\partial y^2} + \frac{\partial^2}{\partial z^2}$$

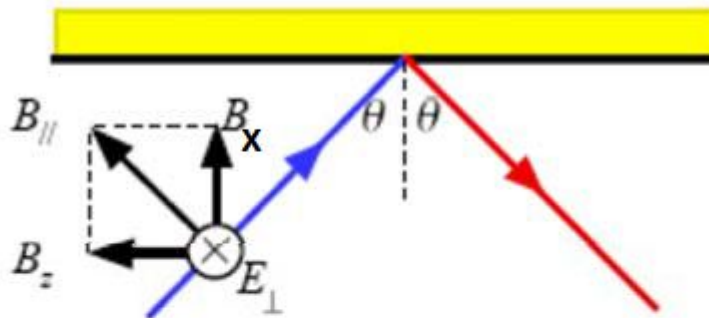
$$\frac{\partial}{\partial x} \neq 0 \text{ e } \frac{\partial}{\partial y} = 0$$

Devido à variação do guia nas direções x e y

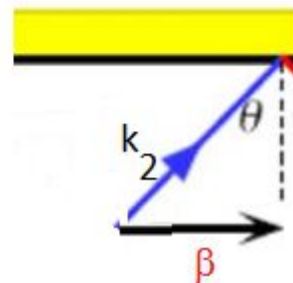
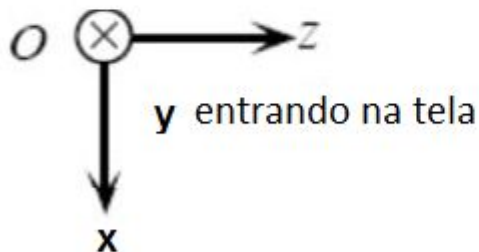
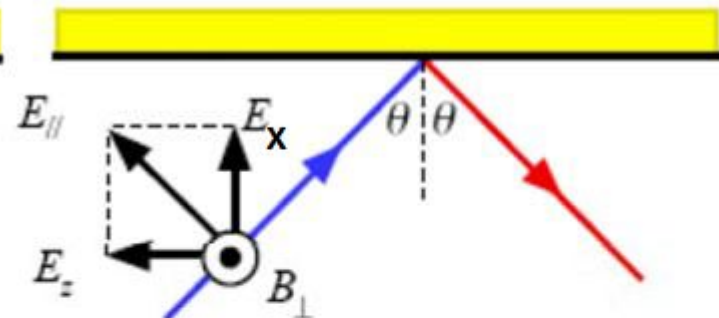
Modos em Guias planares



Modo TE



Modo TM



$$k_2 = n_2 k_0$$

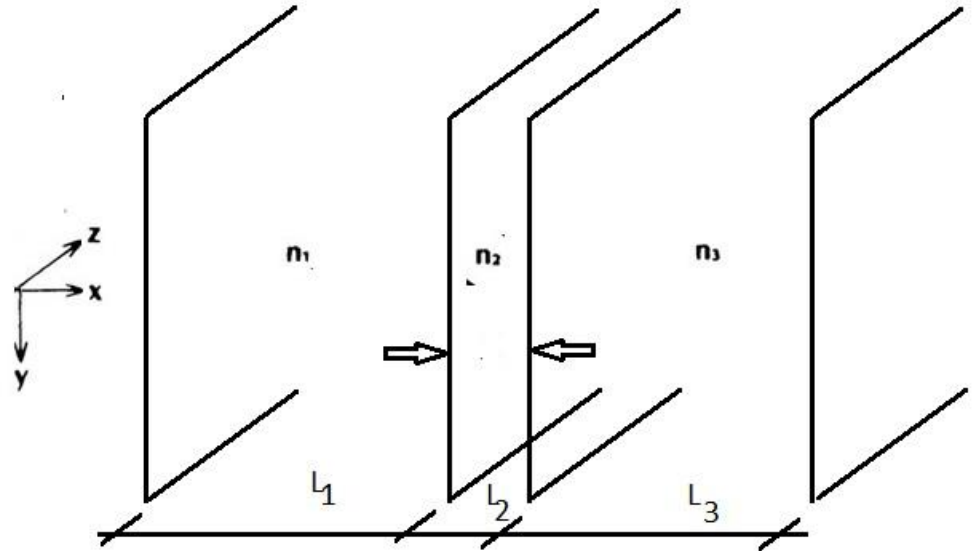
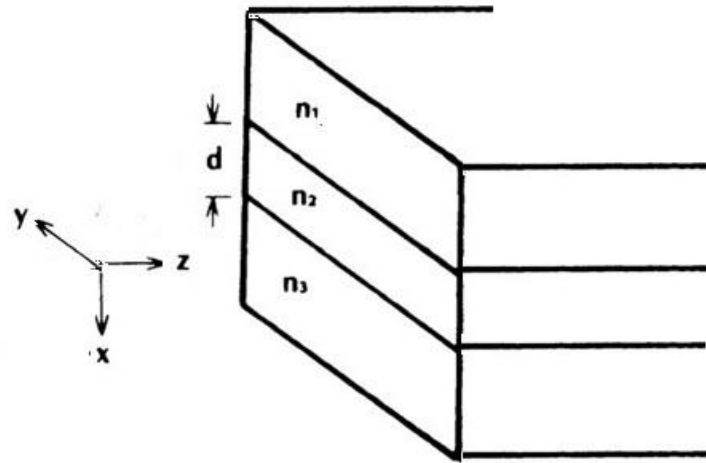
$$k_0 = \frac{2\pi}{\lambda_0}$$

$$\beta = \frac{2\pi}{\lambda_g} = n_{\text{eff}} k_0$$

$$\beta = k_2 \text{Sen}(\theta)$$

$$n_{\text{eff}} = n_2 \text{Sen}(\theta)$$

Modos em Guias planares

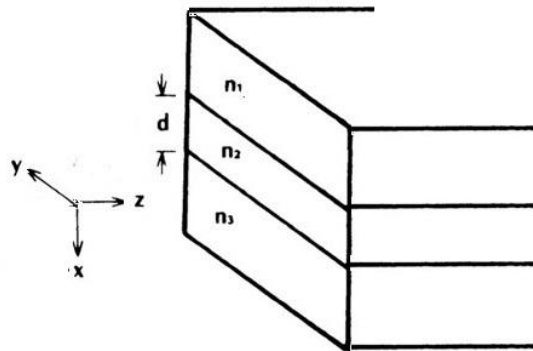


$E_z \approx 0$ ou $H_z \approx 0 \Rightarrow \text{Modos TE's ou TM's}$

$$\frac{\partial^2 E_x}{\partial x^2} + n^2 k_0^2 E_x - \beta^2 E_x = 0$$

$$\frac{1}{n^2} \cdot \frac{\partial^2 H_x}{\partial x^2} + k_0^2 H_x - \beta^2 H_x = 0$$

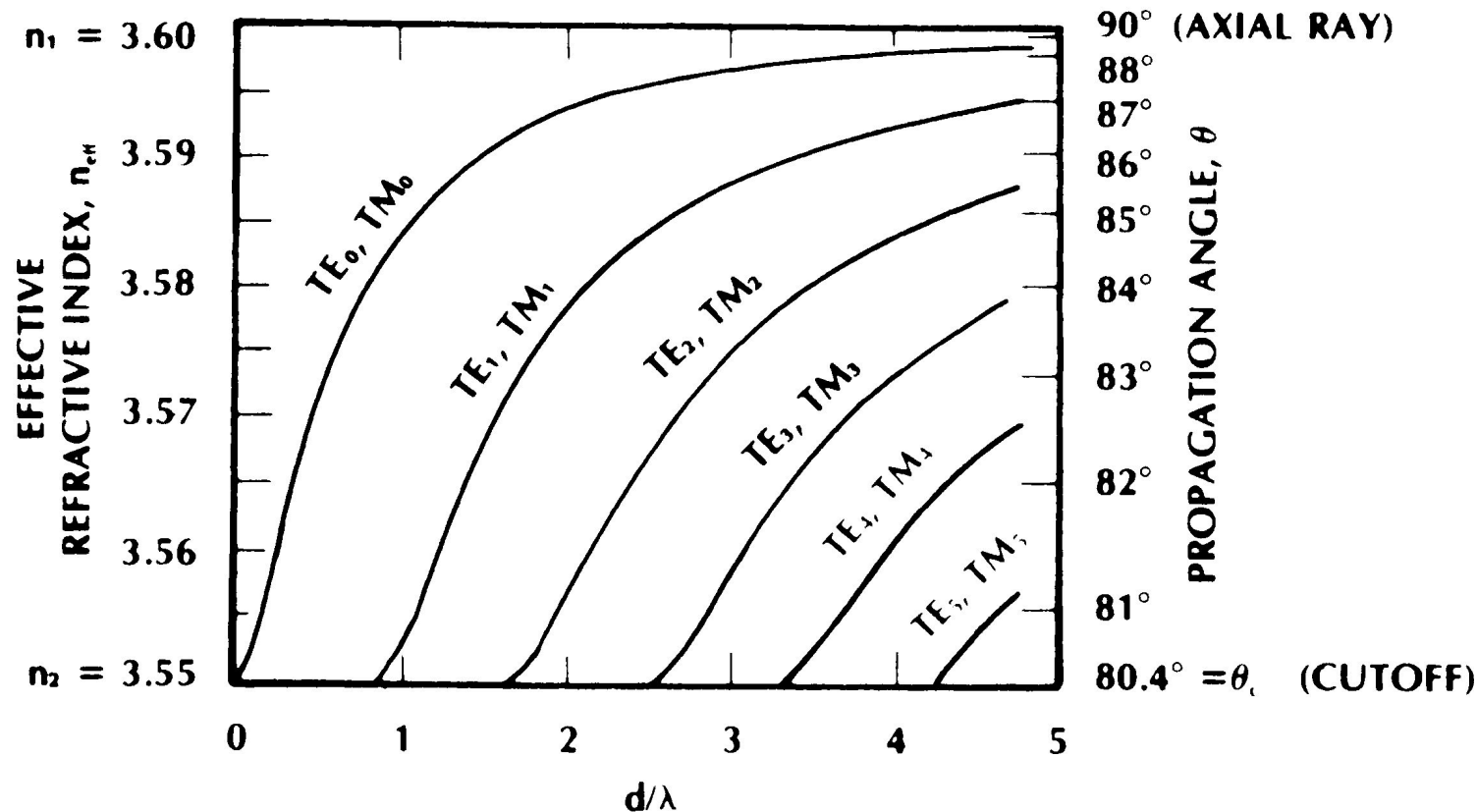
Modos em Guias planares simétricos



Exemplo: $n_2=3.60$ $n_1=n_3=3.55$

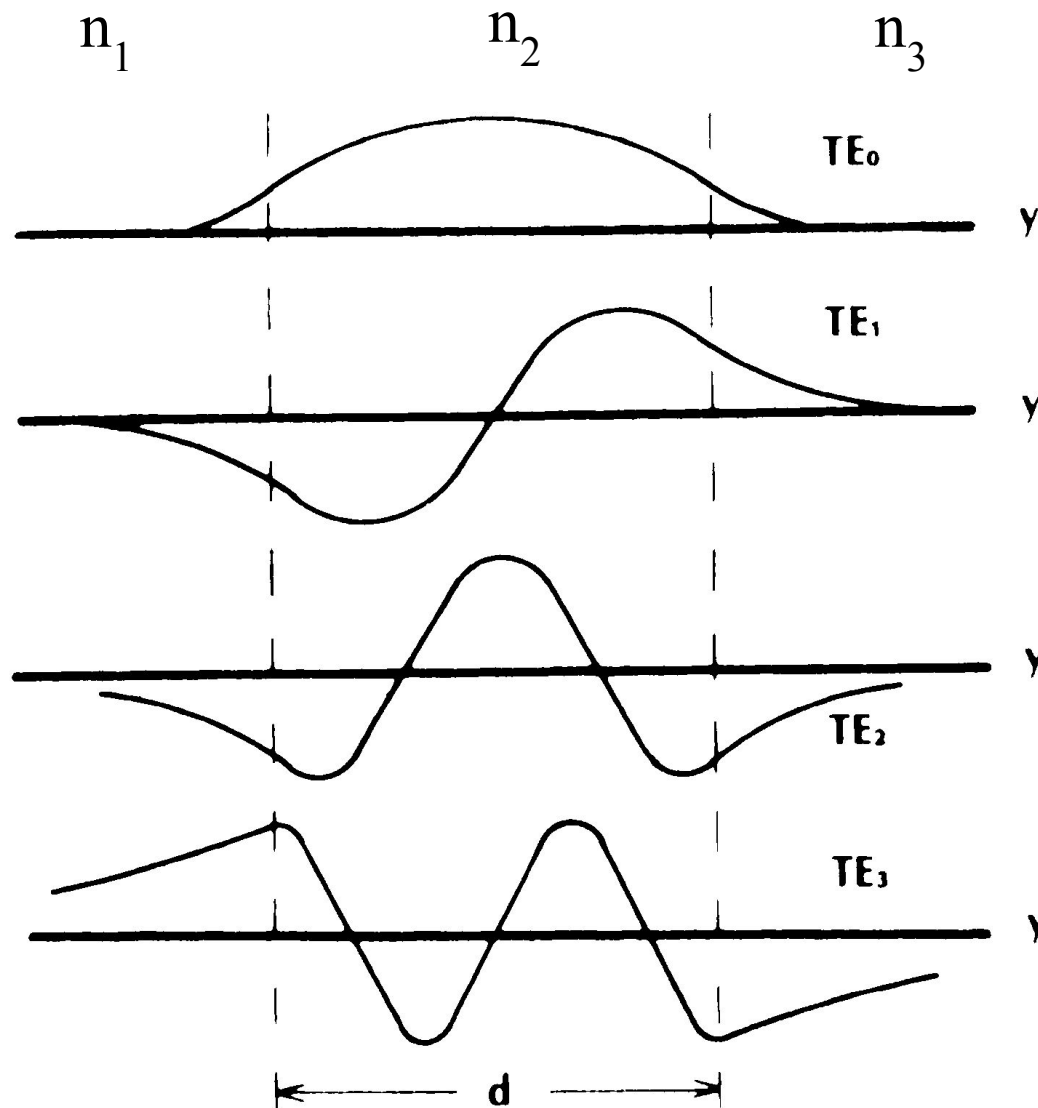
Modo de propagação {

- Constante de propagação
- Distribuição de campo

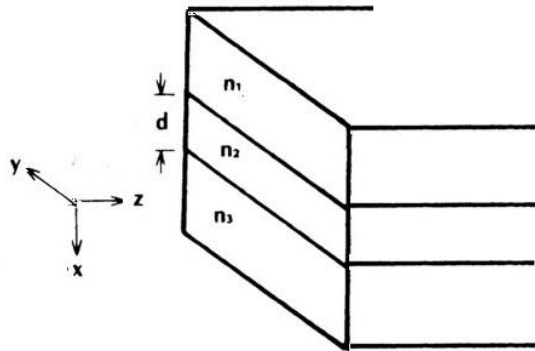


Modo de propagação

- Constante de propagação
- Distribuição de campo



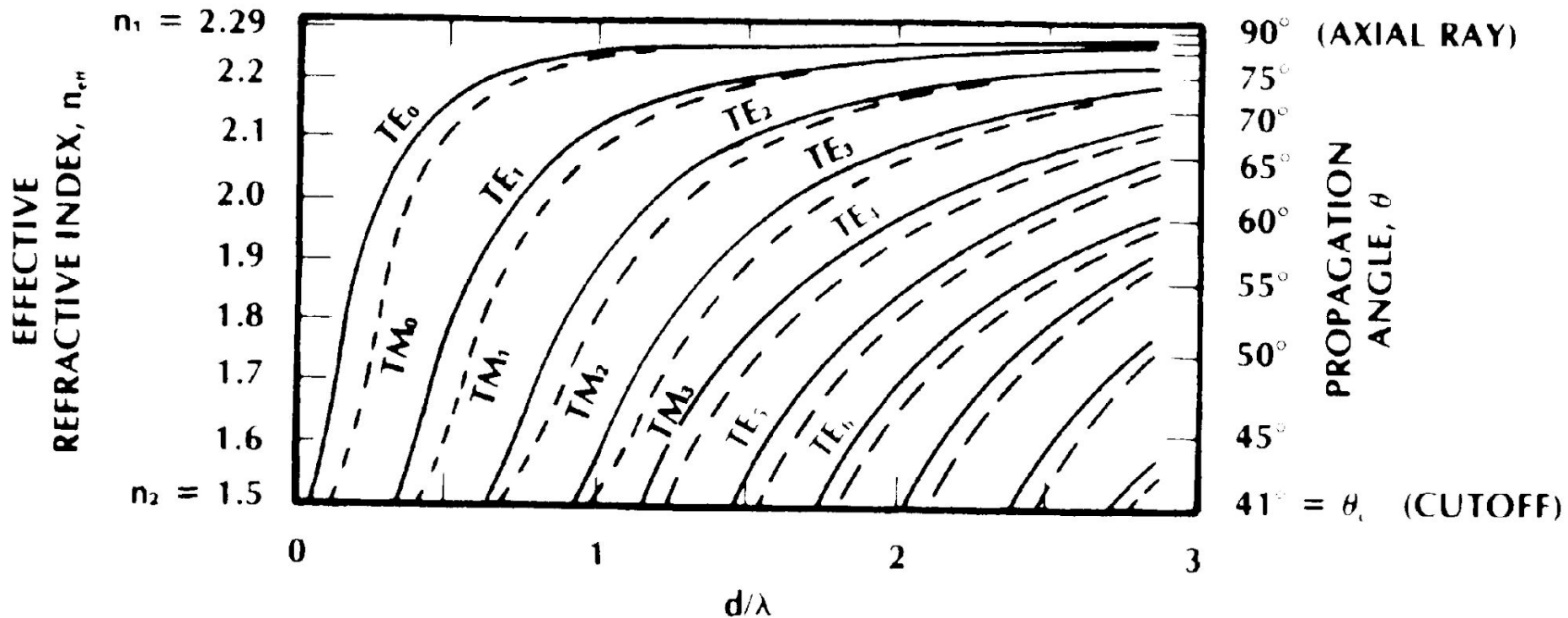
Modos em Guias planares assimétricos



Exemplo: $n_1=1.0$ $n_2=2.29$ $n_3=1.50$

Modo de propagação

- Constante de propagação
- Distribuição de campo



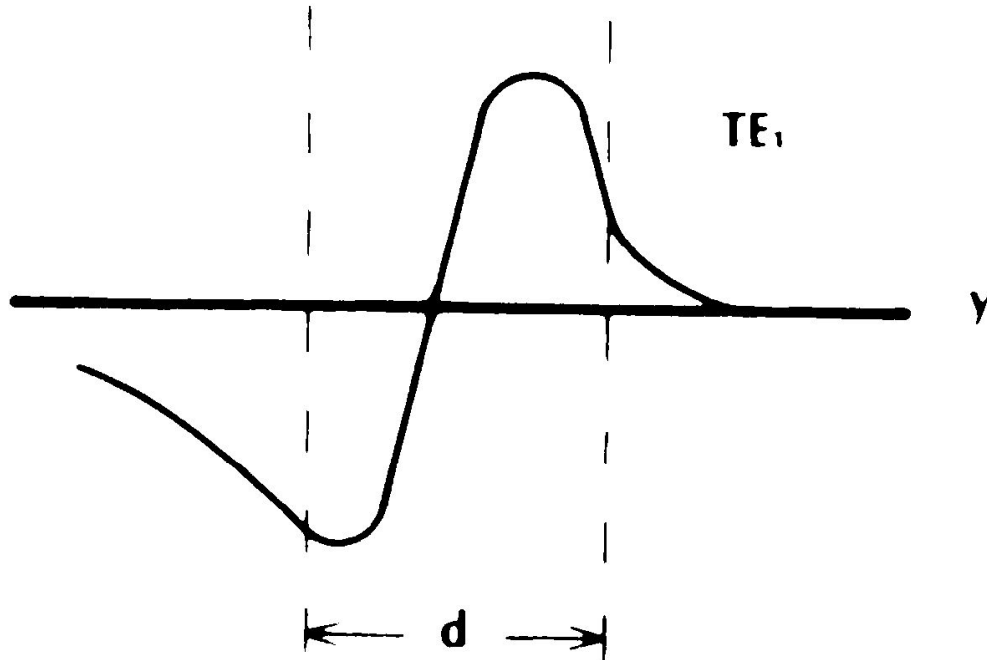
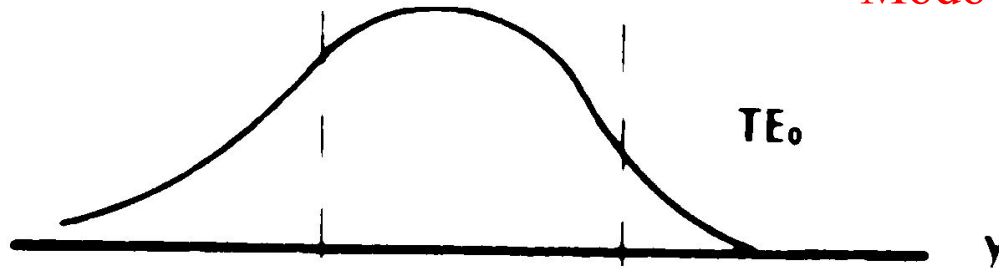
$$n_3=1.5$$

$$n_2=2.29$$

$$n_1=1.0$$

Modo de propagação

- Constante de propagação
- Distribuição de campo



Modos em Guias planares – Análise Modal

Vamos, por simplicidade, estudar o caso TE,
em meios homogêneos, isotópicos e sem perdas.

$$\nabla^2 E + K^2 E = 0$$

Solução analítica ([link](#))

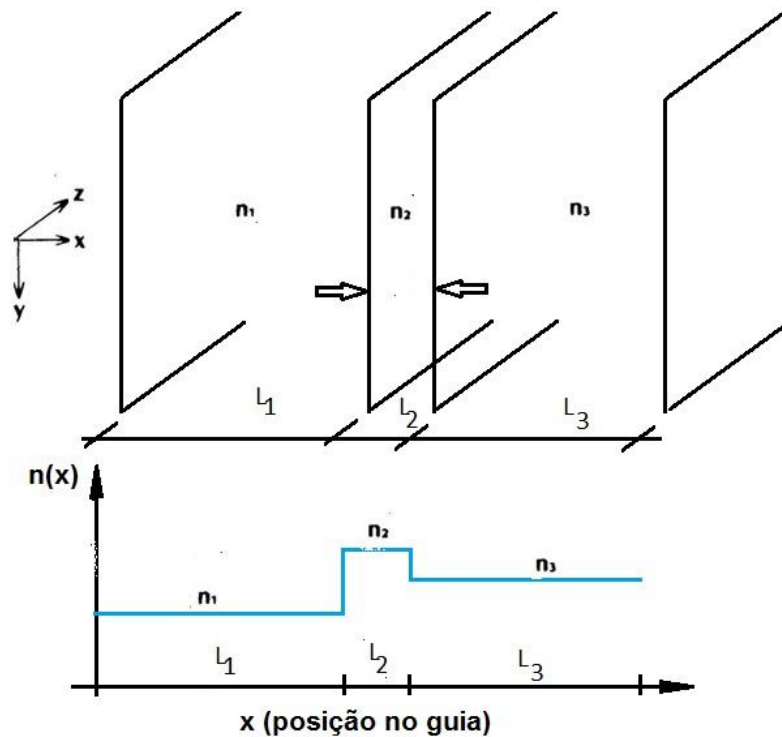
Solução numérica

Modos em Guias planares – Análise Modal

Solução numérica

Vamos, por simplicidade, estudar o caso TE, em meios homogêneos, isotópicos e sem perdas.

$$\nabla^2 E + K^2 E = 0$$

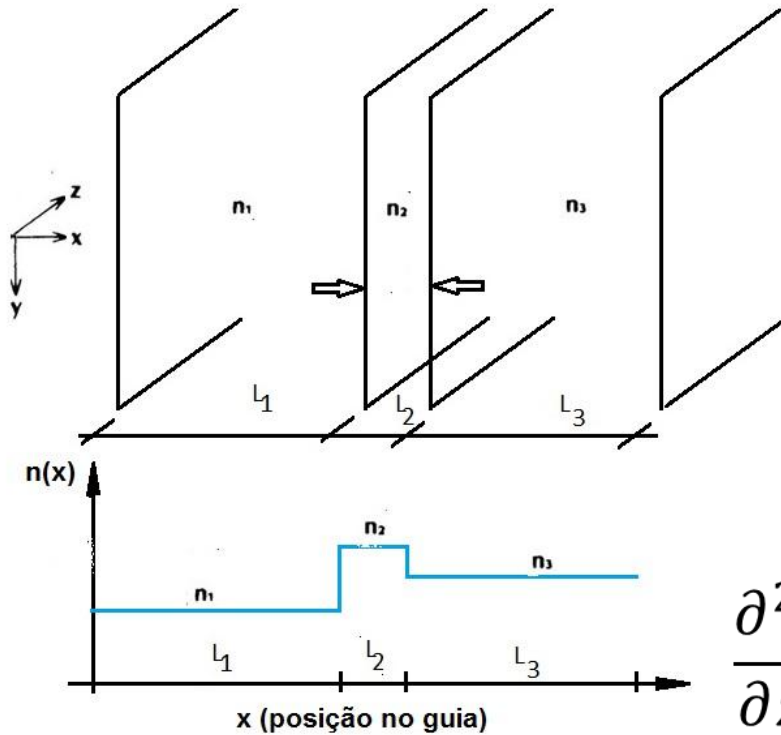


$$\frac{\partial^2 E}{\partial x^2} + \frac{\partial^2 E}{\partial y^2} + \frac{\partial^2 E}{\partial z^2} + k^2 E = 0 \quad (1)$$

$$k = n(x) k_0 \quad (2)$$

$$\frac{\partial^2}{\partial y^2} = 0 \quad (3)$$

Modos em Guias planares – Análise Modal



Considerando

$$E = E(x, z) = E_0(x) e^{-j\beta z} \quad (4)$$

então..

$$\frac{\partial^2 E}{\partial z^2} = \frac{\partial}{\partial z} \left(\frac{\partial E}{\partial z} \right) = (-j\beta)^2 E_0(x) e^{-j\beta z} \quad (5)$$

mas... $\beta = n_{eff} k_0$

$$\frac{\partial^2 E}{\partial z^2} = -n_{eff}^2 k_0^2 E_0(x) e^{-j\beta z} \quad (6)$$

Modos em Guias planares – Análise Modal

$$E = E(x, z) = E_0(x)e^{-j\beta z}$$

Usando (2), (3) e (6) em (1) tem-se

$$\frac{\partial^2 (E_0(x)e^{-j\beta z})}{\partial x^2} + k_0^2 n^2(x) E_0(x)e^{-j\beta z} - n_{eff}^2 k_0^2 E_0(x)e^{-j\beta z} = 0 \quad (7)$$

$$\frac{\partial^2 E(x)}{\partial x^2} + k_0^2 n^2(x) E(x) - n_{eff}^2 k_0^2 E(x) = 0$$


$$\frac{\partial^2 E(x)}{\partial x^2} + k_0^2 n^2(x) E(x) = n_{eff}^2 k_0^2 E(x) \quad (8)$$




Limite do desenvolvimento analítico da Equação de onda.

Modos em Guias planares – Análise Modal

$$\frac{\partial^2 E(x)}{\partial x^2} + k_0^2 n^2(x) E(x) = n_{eff}^2 k_0^2 E(x) \quad (8)$$


Distribuição
de campo


Constante de
propagação

- Para resolver a equação (8) por computador é preciso **discretizá-la**.
- Há duas funções que dependem de “x” e que devem ser discretizados: o $n(x)$ e o $E(x)$
- O $E(x)$ é uma das respostas que queremos encontrar, junto com o n_{eff}

Modos em Guias planares – Análise Modal

$$\frac{\partial^2 E(x)}{\partial x^2} + k_0^2 n^2(x)E(x) = n_{eff}^2 k_0^2 E(x) \quad (8)$$

- Discretizar a equação (8) é dividir o domínio em “x” em n_p pontos, x_i , ou seja de x_1 até x_{n_p}
- Assim, as funções $n(x)$ e $E(x)$ passam a ter valores discretos em $n(x_i)$ e $E(x_i)$
- A ideia é escrever a equação (8) para os n_p pontos x_i , formando n_p equações e resolvê-las simultaneamente (sistema de n_p equações)

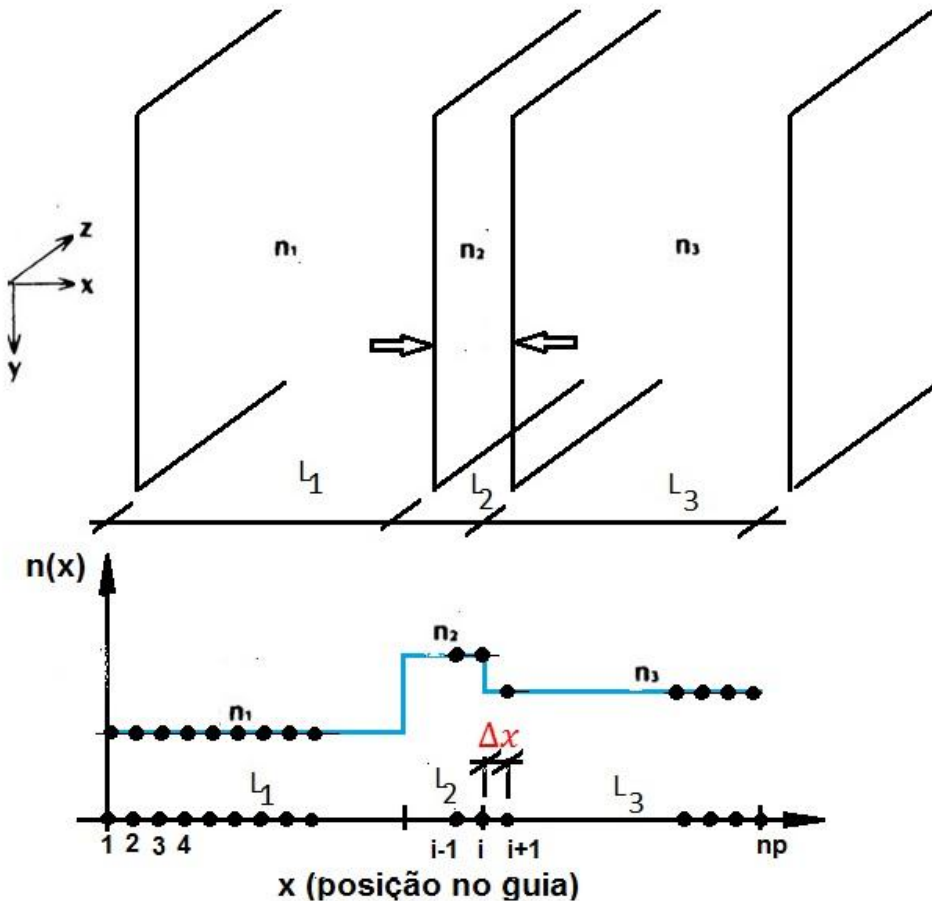
$$\left. \frac{\partial^2 E(x)}{\partial x^2} \right|_{x_i} + k_0^2 n^2(x_i)E(x_i) = n_{eff}^2 k_0^2 E(x_i) \quad (9)$$



Necessidade de discretizar o operador diferencial

Modos em Guias planares – Análise Modal

- Discretização da função $n(x)$ em (8) que passa a ter valores discretos em $n(x_i)$

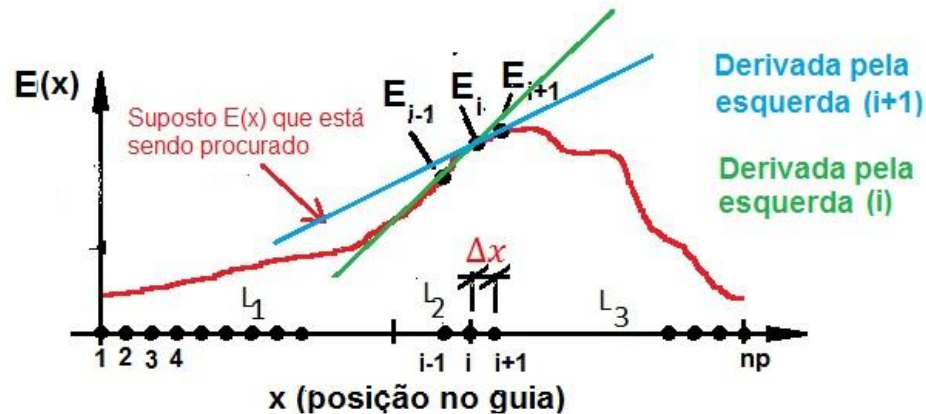
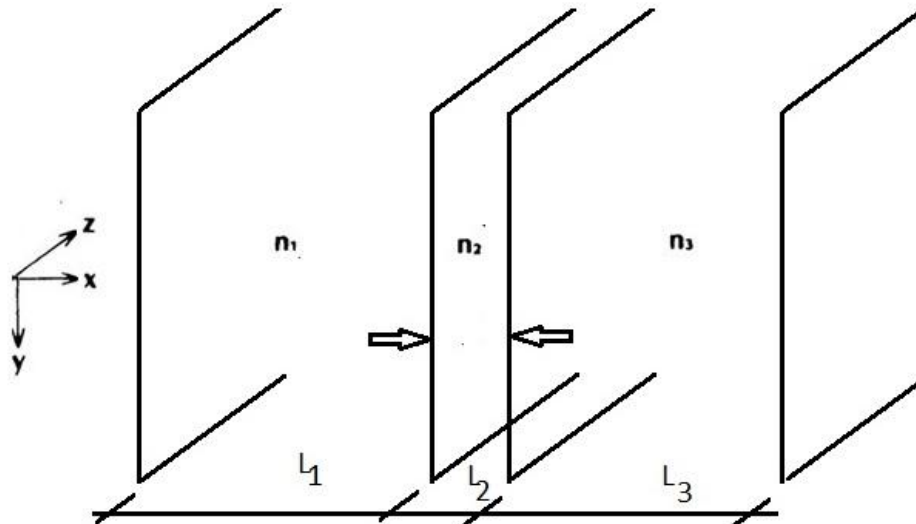


Sugestão: fazer um “For” variando “x” de x_1 até x_{n_p} com variação Δx

$$\Delta x = \frac{\sum L_i}{n_p - 1} \quad (10)$$

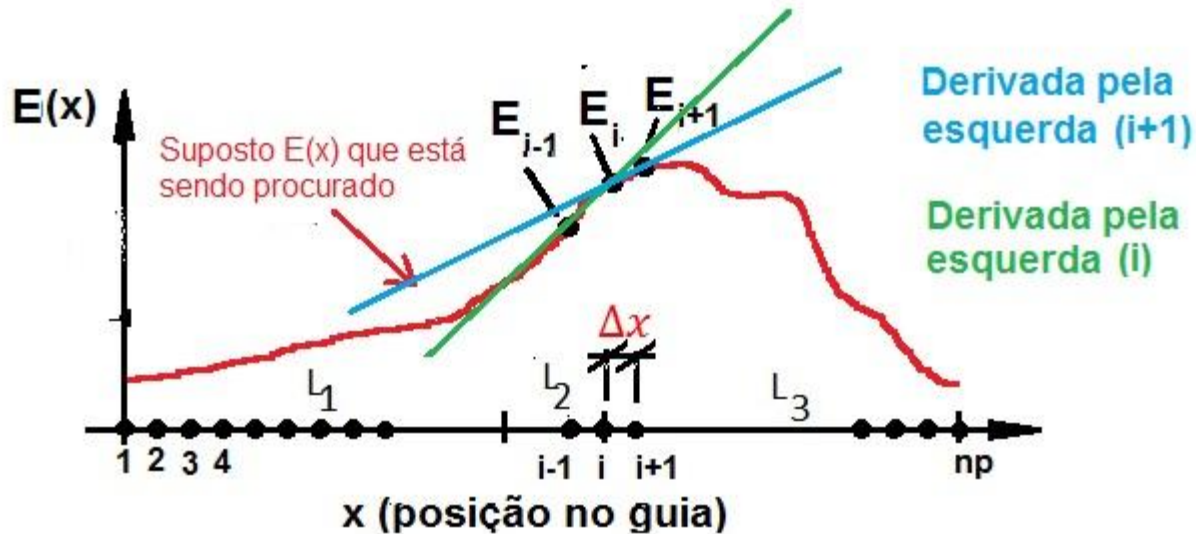
Modos em Guias planares – Análise Modal

- Discretização do operador diferencial $\left. \frac{\partial^2 E(x)}{\partial x^2} \right|_{x_i}$ na equação (9)



Modos em Guias planares – Análise Modal

- Discretização do operador diferencial $\left. \frac{\partial^2 E(x)}{\partial x^2} \right|_{x_i}$ na equação (9)



Derivada primeira pela esquerda em (i+1)

$$E'_{i+1} = \frac{E(x_{i+1}) - E(x_i)}{\Delta x} \quad (11)$$

Derivada primeira pela esquerda em (i)

$$E'_i = \frac{E(x_i) - E(x_{i-1})}{\Delta x} \quad (12)$$

Modos em Guias planares – Análise Modal

- Discretização do operador diferencial $\left. \frac{\partial^2 E(x)}{\partial x^2} \right|_{x_i}$ na equação (9)



**Derivada segunda pela
direita em (i)**

Usando (11) e (12)



$$E_i'' = \frac{E'(x_{i+1}) - E'(x_i)}{\Delta x} = \frac{1 \cdot E(x_{i-1}) - 2 \cdot E(x_i) + 1 \cdot E(x_{i+1}))}{\Delta x^2} \quad (13)$$

Modos em Guias planares – Análise Modal

Voltando à equação (9) e usando (13)

$$\left. \frac{\partial^2 E(x)}{\partial x^2} \right|_{x_i} + k_0^2 n^2(x_i) E(x_i) = n_{eff}^2 k_0^2 E(x_i) \quad (9)$$

$$\left. \frac{\partial^2 E(x)}{\partial x^2} \right|_{x_i} = \frac{1 \cdot E(x_{i-1}) - 2 \cdot E(x_i) + 1 \cdot E(x_{i+1}))}{\Delta x^2} \quad (13)$$

$$\frac{1 \cdot E(x_{i-1}) - 2 \cdot E(x_i) + 1 \cdot E(x_{i+1}))}{\Delta x^2} + k_0^2 n^2(x_i) E(x_i) = n_{eff}^2 k_0^2 E(x_i)$$

(14)

Equação de onda discretizada

Modos em Guias planares – Análise Modal

A equação (14) representa a equação de onda generalizada para qualquer ponto do guia

$$\frac{1 \cdot E(x_{i-1}) - 2 \cdot E(x_i) + 1 \cdot E(x_{i+1}))}{\Delta x^2} + k_0^2 n^2(x_i) E(x_i) = n_{eff}^2 k_0^2 E(x_i)$$

$$\frac{1E(x_0) - 2E(x_1) + 1E(x_2)}{\Delta x^2} + k_0^2 n^2(x_1) E(x_1) = n_{eff}^2 k_0^2 E(x_1)$$

$$\frac{1E(x_1) - 2E(x_2) + 1E(x_3)}{\Delta x^2} + k_0^2 n^2(x_2) E(x_2) = n_{eff}^2 k_0^2 E(x_2)$$

$$\frac{1E(x_2) - 2E(x_3) + 1E(x_4)}{\Delta x^2} + k_0^2 n^2(x_3) E(x_3) = n_{eff}^2 k_0^2 E(x_3)$$

$$\frac{1E(x_3) - 2E(x_4) + 1E(x_5)}{\Delta x^2} + k_0^2 n^2(x_4) E(x_4) = n_{eff}^2 k_0^2 E(x_4)$$

⋮

$$\frac{1E(x_{n_p-2}) - 2E(x_{n_p-1}) + 1E(x_{n_p})}{\Delta x^2} + k_0^2 n^2(x_{n_p-1}) E(x_{n_p-1}) = n_{eff}^2 k_0^2 E(x_{n_p-1})$$

$$\frac{1E(x_{n_p-1}) - 2E(x_{n_p}) + 1E(x_{n_p+1}))}{\Delta x^2} + k_0^2 n^2(x_{n_p}) E(x_{n_p}) = n_{eff}^2 k_0^2 E(x_{n_p})$$

Modos em Guias planares – Análise Modal

Rearranjando , temos

$$\begin{aligned}
 & \left(\frac{1E(x_0) - 2E(x_1) + 1E(x_2) + 0E(x_3) + 0E(x_4) + 0E(x_5) \dots}{\Delta x^2} \right) + (0E(x_0) + k_0^2 n^2(x_1)E(x_1) + 0E(x_2) \dots) = (0E(x_0) + n_{eff}^2 k_0^2 E(x_1) + 0E(x_2) \dots) \\
 & \left(\frac{0E(x_0) + 1E(x_1) - 2E(x_2) + 1E(x_3) + 0E(x_4) + 0E(x_5) \dots}{\Delta x^2} \right) + (0E(x_0) + 0E(x_1) + k_0^2 n^2(x_2)E(x_2) + 0E(x_3) \dots) = (0E(x_0) + 0E(x_1) + n_{eff}^2 k_0^2 E(x_2) \dots) \\
 & \left(\frac{0E(x_0) + 0E(x_1) + 1E(x_2) - 2E(x_3) + 1E(x_4) + 0E(x_5) \dots}{\Delta x^2} \right) + (0E(x_0) + 0E(x_1) + 0E(x_2) + k_0^2 n^2(x_3)E(x_3) \dots) = (\dots n_{eff}^2 k_0^2 E(x_3) \dots) \\
 & \left(\frac{0E(x_0) + 0E(x_1) + 0E(x_2) + 1E(x_3) - 2E(x_4) + 1E(x_5) \dots}{\Delta x^2} \right) + (0E(x_0) + 0E(x_1) + 0E(x_2) + 0E(x_3) + k_0^2 n^2(x_4)E(x_4) \dots) = (\dots n_{eff}^2 k_0^2 E(x_4) \dots) \\
 & \quad \quad \quad \blacksquare \\
 & \quad \quad \quad \blacksquare \\
 & \quad \quad \quad \blacksquare \\
 & \left(\frac{\dots 0E(x_{n_p-3}) + 1E(x_{n_p-2}) - 2E(x_{n_p-1}) + 1E(x_{n_p}) + 0E(x_{n_p+1})}{\Delta x^2} \right) + (\dots 0E(x_{n_p}) + k_0^2 n^2(x_{n_p-1})E(x_{n_p-1}) + 0E(x_{n_p+1})) = \dots n_{eff}^2 k_0^2 E(x_{n_p-1}) \dots \\
 & \left(\frac{\dots 0E(x_{n_p-3}) + 0E(x_{n_p-2}) + 1E(x_{n_p-1}) - 2E(x_{n_p}) + 1E(x_{n_p+1})}{\Delta x^2} \right) + (\dots 0E(x_{n_p-1}) + 0E(x_{n_p-1}) + k_0^2 n^2(x_{n_p})E(x_{n_p})) = \dots n_{eff}^2 k_0^2 E(x_{n_p})
 \end{aligned}$$

Modos em Guias planares – Análise Modal

Para $n_p=7$, o sistema de equações anterior pode ser escrito como um sistema matricial abaixo

$$\frac{1}{\Delta x^2} \begin{pmatrix} 1 & -2 & 1 & 0 & 0 & 0 & 0 & 0 & 0 \\ 0 & 1 & -2 & 1 & 0 & 0 & 0 & 0 & 0 \\ 0 & 0 & 1 & -2 & 1 & 0 & 0 & 0 & 0 \\ 0 & 0 & 0 & 1 & -2 & 1 & 0 & 0 & 0 \\ 0 & 0 & 0 & 0 & 1 & -2 & 1 & 0 & 0 \\ 0 & 0 & 0 & 0 & 0 & 1 & -2 & 1 & 0 \\ 0 & 0 & 0 & 0 & 0 & 0 & 1 & -2 & 1 \end{pmatrix} \begin{pmatrix} E_0 \\ E_1 \\ E_2 \\ E_3 \\ E_4 \\ E_5 \\ E_6 \\ E_7 \\ E_8 \end{pmatrix} + k_0^2 \begin{pmatrix} 0 & n_1^2 & 0 & 0 & 0 & 0 & 0 & 0 & 0 \\ 0 & 0 & n_2^2 & 0 & 0 & 0 & 0 & 0 & 0 \\ 0 & 0 & 0 & n_3^2 & 0 & 0 & 0 & 0 & 0 \\ 0 & 0 & 0 & 0 & n_4^2 & 0 & 0 & 0 & 0 \\ 0 & 0 & 0 & 0 & 0 & n_5^2 & 0 & 0 & 0 \\ 0 & 0 & 0 & 0 & 0 & 0 & n_6^2 & 0 & 0 \\ 0 & 0 & 0 & 0 & 0 & 0 & 0 & n_7^2 & 0 \end{pmatrix} \begin{pmatrix} E_0 \\ E_1 \\ E_2 \\ E_3 \\ E_4 \\ E_5 \\ E_6 \\ E_7 \\ E_8 \end{pmatrix} = n_{\text{eff}}^2 \begin{pmatrix} 0 & k_0^2 & 0 & 0 & 0 & 0 & 0 & 0 & 0 \\ 0 & 0 & k_0^2 & 0 & 0 & 0 & 0 & 0 & 0 \\ 0 & 0 & 0 & k_0^2 & 0 & 0 & 0 & 0 & 0 \\ 0 & 0 & 0 & 0 & k_0^2 & 0 & 0 & 0 & 0 \\ 0 & 0 & 0 & 0 & 0 & k_0^2 & 0 & 0 & 0 \\ 0 & 0 & 0 & 0 & 0 & 0 & k_0^2 & 0 & 0 \\ 0 & 0 & 0 & 0 & 0 & 0 & 0 & k_0^2 & 0 \\ 0 & 0 & 0 & 0 & 0 & 0 & 0 & 0 & k_0^2 \end{pmatrix} \begin{pmatrix} E_0 \\ E_1 \\ E_2 \\ E_3 \\ E_4 \\ E_5 \\ E_6 \\ E_7 \\ E_8 \end{pmatrix}$$

Note que não existem os pontos x_0 e x_8

$$\frac{1}{\Delta x^2} \begin{pmatrix} \text{---} & -2 & 1 & 0 & 0 & 0 & 0 & 0 & \text{---} \\ 0 & 1 & -2 & 1 & 0 & 0 & 0 & 0 & 0 \\ 0 & 0 & 1 & -2 & 1 & 0 & 0 & 0 & 0 \\ 0 & 0 & 0 & 1 & -2 & 1 & 0 & 0 & 0 \\ 0 & 0 & 0 & 0 & 1 & -2 & 1 & 0 & 0 \\ 0 & 0 & 0 & 0 & 0 & 1 & -2 & 1 & 0 \\ 0 & 0 & 0 & 0 & 0 & 0 & 1 & -2 & 1 \\ 0 & 0 & 0 & 0 & 0 & 0 & 0 & 1 & -2 \end{pmatrix} \begin{pmatrix} \text{---} E_0 \text{---} \\ E_1 \\ E_2 \\ E_3 \\ E_4 \\ E_5 \\ E_6 \\ E_7 \\ \text{---} E_8 \text{---} \end{pmatrix} + k_0^2 \begin{pmatrix} \text{---} & n_1^2 & 0 & 0 & 0 & 0 & 0 & 0 & \text{---} \\ 0 & 0 & n_2^2 & 0 & 0 & 0 & 0 & 0 & 0 \\ 0 & 0 & 0 & n_3^2 & 0 & 0 & 0 & 0 & 0 \\ 0 & 0 & 0 & 0 & n_4^2 & 0 & 0 & 0 & 0 \\ 0 & 0 & 0 & 0 & 0 & n_5^2 & 0 & 0 & 0 \\ 0 & 0 & 0 & 0 & 0 & 0 & n_6^2 & 0 & 0 \\ 0 & 0 & 0 & 0 & 0 & 0 & 0 & n_7^2 & 0 \end{pmatrix} \begin{pmatrix} \text{---} E_0 \text{---} \\ E_1 \\ E_2 \\ E_3 \\ E_4 \\ E_5 \\ E_6 \\ E_7 \\ \text{---} E_8 \text{---} \end{pmatrix} = n_{\text{eff}}^2 \begin{pmatrix} \text{---} & k_0^2 & 0 & 0 & 0 & 0 & 0 & 0 & \text{---} \\ 0 & 0 & k_0^2 & 0 & 0 & 0 & 0 & 0 & 0 \\ 0 & 0 & 0 & k_0^2 & 0 & 0 & 0 & 0 & 0 \\ 0 & 0 & 0 & 0 & k_0^2 & 0 & 0 & 0 & 0 \\ 0 & 0 & 0 & 0 & 0 & k_0^2 & 0 & 0 & 0 \\ 0 & 0 & 0 & 0 & 0 & 0 & k_0^2 & 0 & 0 \\ 0 & 0 & 0 & 0 & 0 & 0 & 0 & k_0^2 & 0 \\ 0 & 0 & 0 & 0 & 0 & 0 & 0 & 0 & k_0^2 \end{pmatrix} \begin{pmatrix} \text{---} E_0 \text{---} \\ E_1 \\ E_2 \\ E_3 \\ E_4 \\ E_5 \\ E_6 \\ E_7 \\ \text{---} E_8 \text{---} \end{pmatrix}$$

Modos em Guias planares – Análise Modal

$$\frac{1}{\Delta x^2} \begin{pmatrix} -2 & 1 & 0 & 0 & 0 & 0 & 0 \\ 1 & -2 & 1 & 0 & 0 & 0 & 0 \\ 0 & 1 & -2 & 1 & 0 & 0 & 0 \\ 0 & 0 & 1 & -2 & 1 & 0 & 0 \\ 0 & 0 & 0 & 1 & -2 & 1 & 0 \\ 0 & 0 & 0 & 0 & 1 & -2 & 1 \\ 0 & 0 & 0 & 0 & 0 & 1 & -2 \end{pmatrix} \begin{pmatrix} E_1 \\ E_2 \\ E_3 \\ E_4 \\ E_5 \\ E_6 \\ E_7 \end{pmatrix} + k_0^2 \begin{pmatrix} n_1^2 & 0 & 0 & 0 & 0 & 0 & 0 \\ 0 & n_2^2 & 0 & 0 & 0 & 0 & 0 \\ 0 & 0 & n_3^2 & 0 & 0 & 0 & 0 \\ 0 & 0 & 0 & n_4^2 & 0 & 0 & 0 \\ 0 & 0 & 0 & 0 & n_5^2 & 0 & 0 \\ 0 & 0 & 0 & 0 & 0 & n_6^2 & 0 \\ 0 & 0 & 0 & 0 & 0 & 0 & n_7^2 \end{pmatrix} \begin{pmatrix} E_1 \\ E_2 \\ E_3 \\ E_4 \\ E_5 \\ E_6 \\ E_7 \end{pmatrix} = n_{\text{eff}}^2 \begin{pmatrix} k_0^2 & 0 & 0 & 0 & 0 & 0 & 0 \\ 0 & k_0^2 & 0 & 0 & 0 & 0 & 0 \\ 0 & 0 & k_0^2 & 0 & 0 & 0 & 0 \\ 0 & 0 & 0 & k_0^2 & 0 & 0 & 0 \\ 0 & 0 & 0 & 0 & k_0^2 & 0 & 0 \\ 0 & 0 & 0 & 0 & 0 & k_0^2 & 0 \\ 0 & 0 & 0 & 0 & 0 & 0 & k_0^2 \end{pmatrix} \begin{pmatrix} E_1 \\ E_2 \\ E_3 \\ E_4 \\ E_5 \\ E_6 \\ E_7 \end{pmatrix}$$

Distribuição de campo

Constante de propagação

$$\underset{(n_p \times n_p)}{[A]} \underset{(1 \times n_p)}{[E]} = n_{eff}^2 \underset{(n_p \times n_p)}{[B]} \underset{(1 \times n_p)}{[E]}$$

Autovalores

Autovetores

Modos em Guias planares – Análise Modal

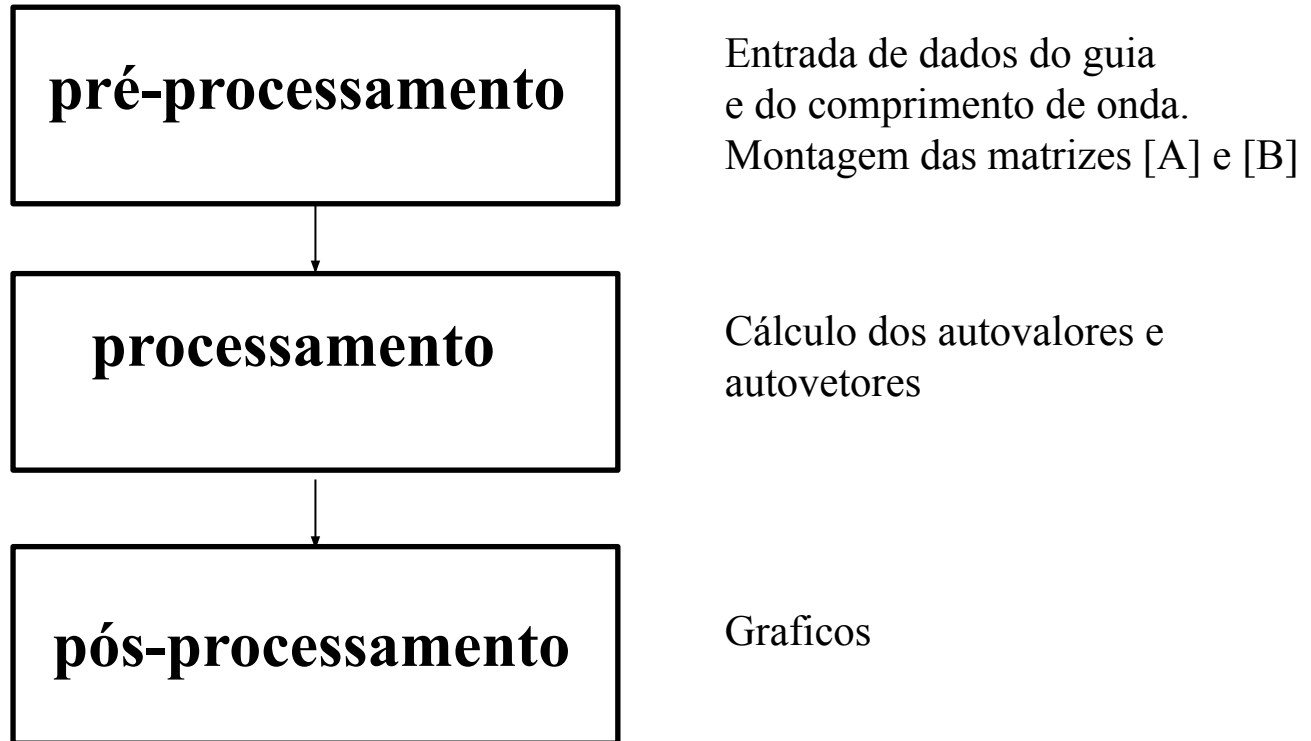
$$[A][E] = n_{eff}^2 [B][E]$$

$$[A] = \frac{1}{\Delta x^2} \begin{pmatrix} -2 & 1 & 0 & 0 & 0 & 0 & 0 \\ 1 & -2 & 1 & 0 & 0 & 0 & 0 \\ 0 & 1 & -2 & 1 & 0 & 0 & 0 \\ 0 & 0 & 1 & -2 & 1 & 0 & 0 \\ 0 & 0 & 0 & 1 & -2 & 1 & 0 \\ 0 & 0 & 0 & 0 & 1 & -2 & 1 \\ 0 & 0 & 0 & 0 & 0 & 1 & -2 \end{pmatrix} + k_0^2 \begin{pmatrix} n_1^2 & 0 & 0 & 0 & 0 & 0 & 0 \\ 0 & n_2^2 & 0 & 0 & 0 & 0 & 0 \\ 0 & 0 & n_3^2 & 0 & 0 & 0 & 0 \\ 0 & 0 & 0 & n_4^2 & 0 & 0 & 0 \\ 0 & 0 & 0 & 0 & n_5^2 & 0 & 0 \\ 0 & 0 & 0 & 0 & 0 & n_6^2 & 0 \\ 0 & 0 & 0 & 0 & 0 & 0 & n_7^2 \end{pmatrix}$$

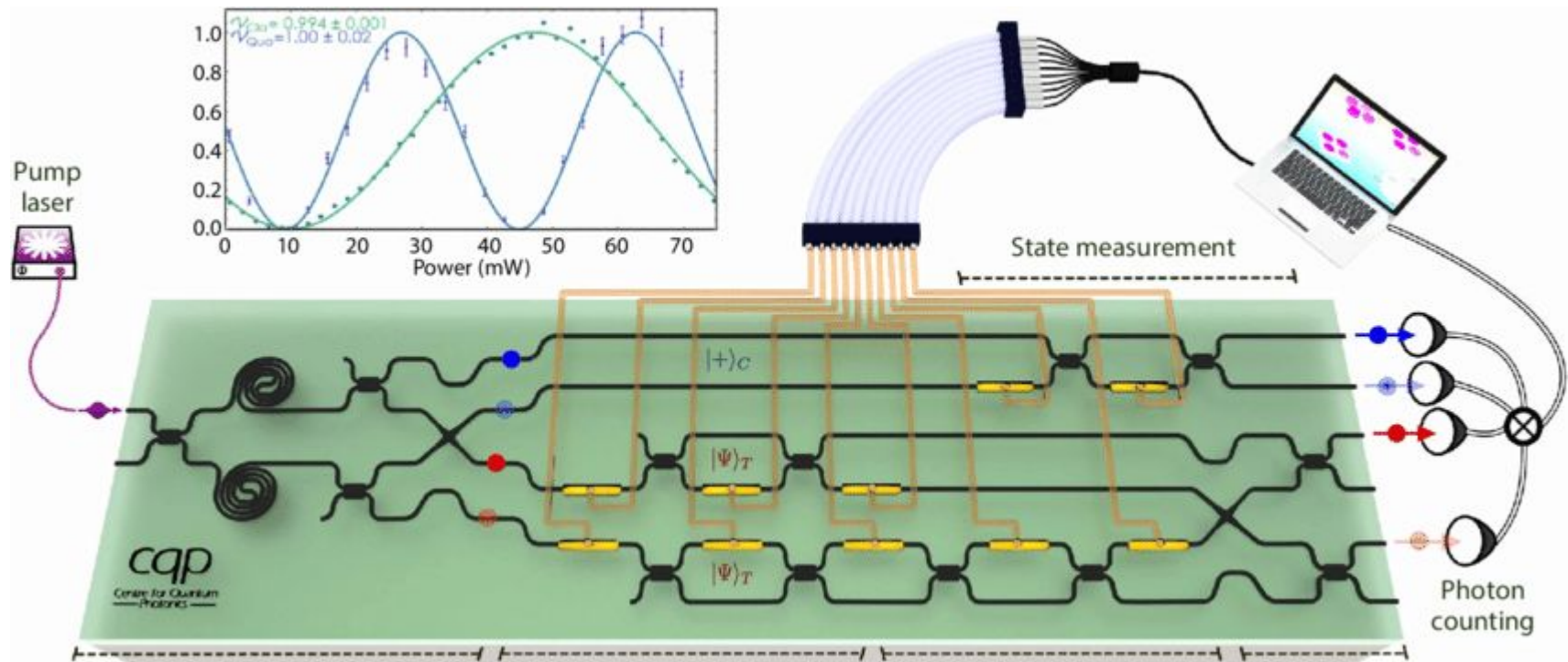
$$[B] = \begin{pmatrix} k_0^2 & 0 & 0 & 0 & 0 & 0 & 0 \\ 0 & k_0^2 & 0 & 0 & 0 & 0 & 0 \\ 0 & 0 & k_0^2 & 0 & 0 & 0 & 0 \\ 0 & 0 & 0 & k_0^2 & 0 & 0 & 0 \\ 0 & 0 & 0 & 0 & k_0^2 & 0 & 0 \\ 0 & 0 & 0 & 0 & 0 & k_0^2 & 0 \\ 0 & 0 & 0 & 0 & 0 & 0 & k_0^2 \end{pmatrix}$$

Modos em Guias planares – Análise Modal

-montar o programa em 3 partes: **pré-processamento**, **processamento** e **pós-processamento**



Fotônica Computacional

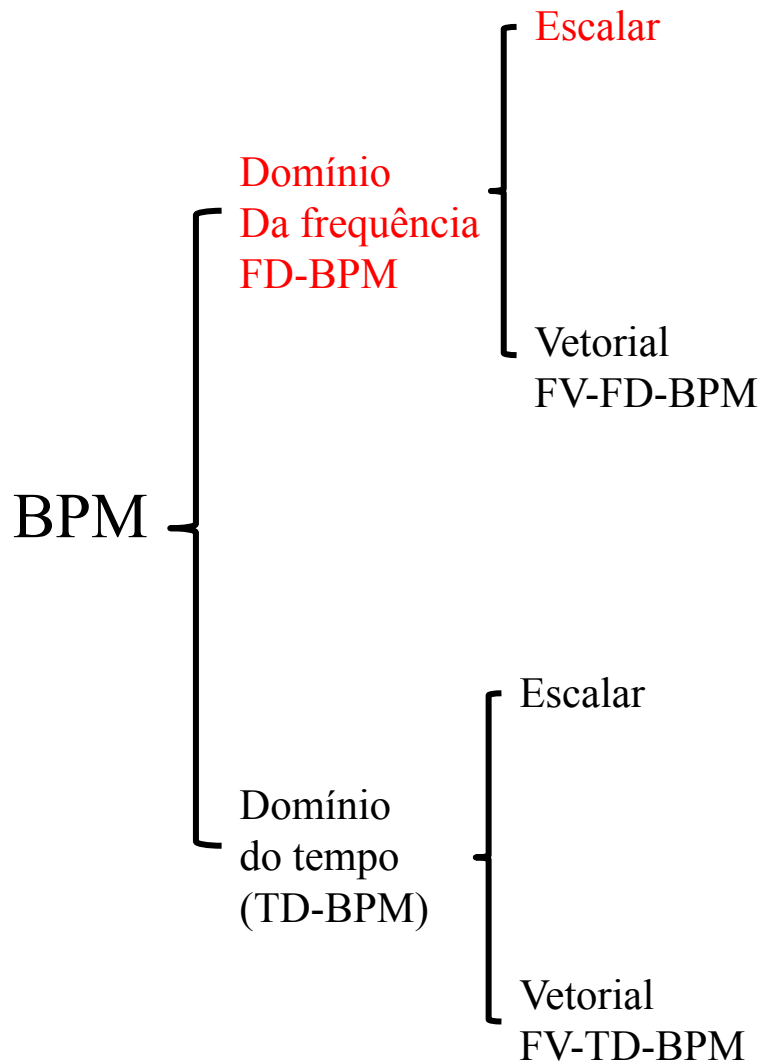


- Necessidade de projetar o guia e saber **quais** modos se propagam (análise modal)
- Necessidade de saber **como** estes modos se propagam (BPM – beam propagation method)

BPM – Beam Propagation Method

Método da propagação do feixe

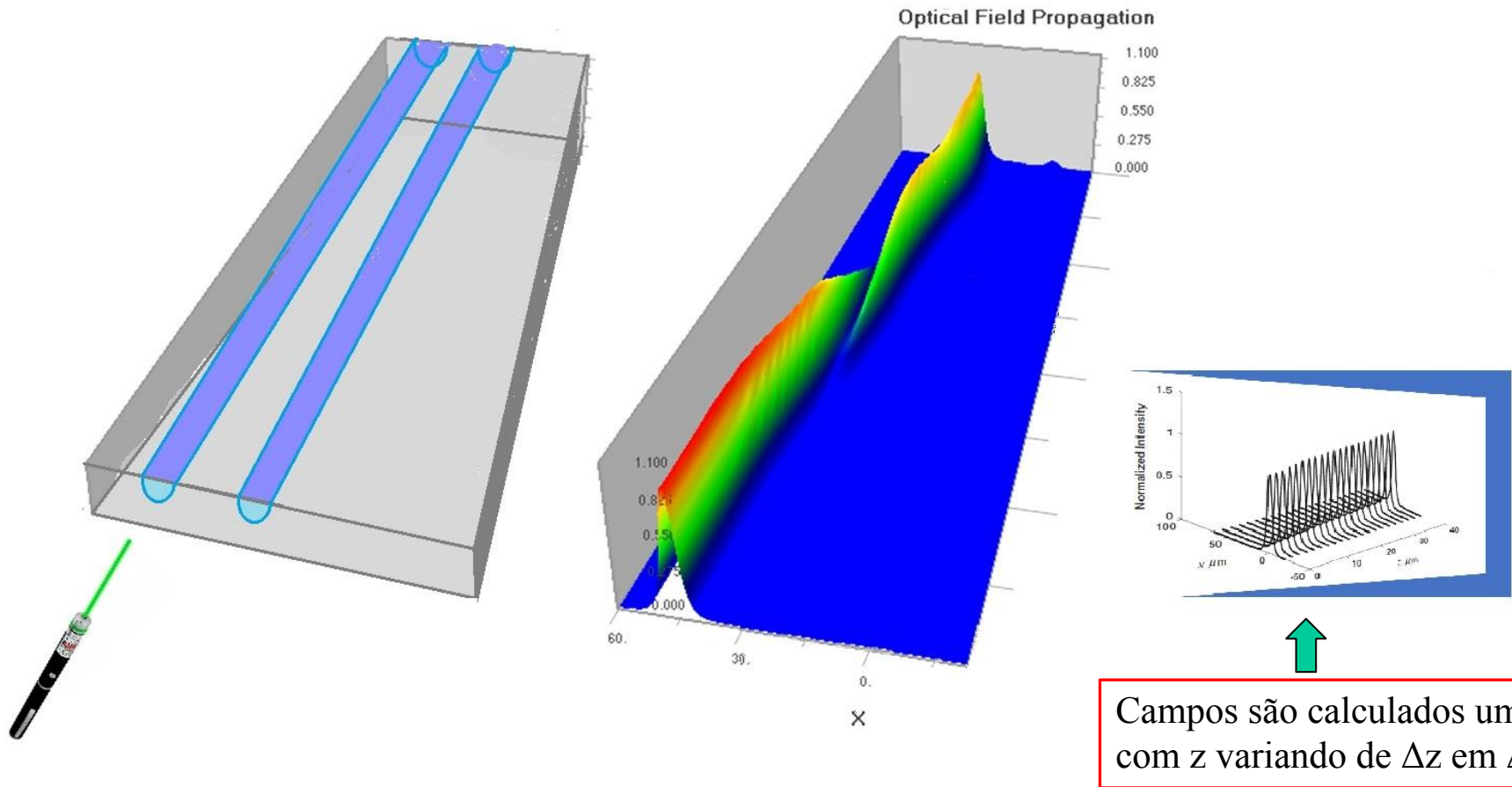
É a técnica computacional que permite simular a propagação do campo eletromagnético dentro de uma estrutura de guiamento



A amplitude do campo elétrico é constante – CW
(energia concentrada em uma única frequência)

A amplitude do campo elétrico é modulada

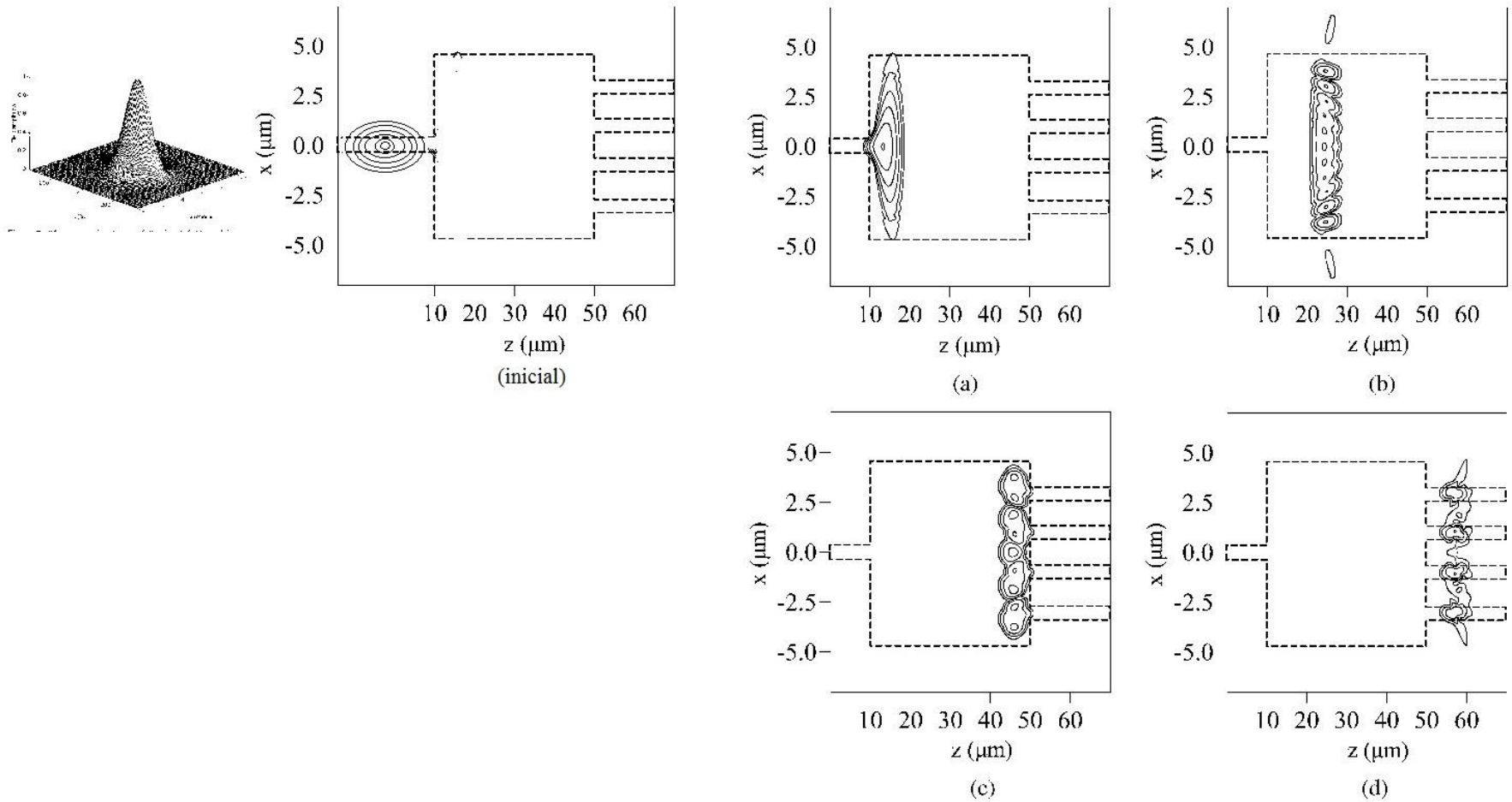
BPM no domínio da frequência



Campos são calculados um a um com z variando de Δz em Δz

A luz, sem modulação (CW), é acoplada ao guia de onda.
Observa-se um sinal “contínuo” propagando-se pelo guia de onda.

BPM no domínio do tempo



A luz, com amplitude modulada (pulso), é acoplada ao guia de onda. Observa-se um “pulso” propagando-se pelo guia de onda.

BPM no domínio da frequência - modelagem

Vamos, por simplicidade, estudar o caso TE,
em meios homogêneos, isotópicos e sem perdas.
(Iguais condições que fizemos com a Análise Modal)

$$\nabla^2 E + K^2 E = 0$$

Solução ~~analítica~~ (não tem)

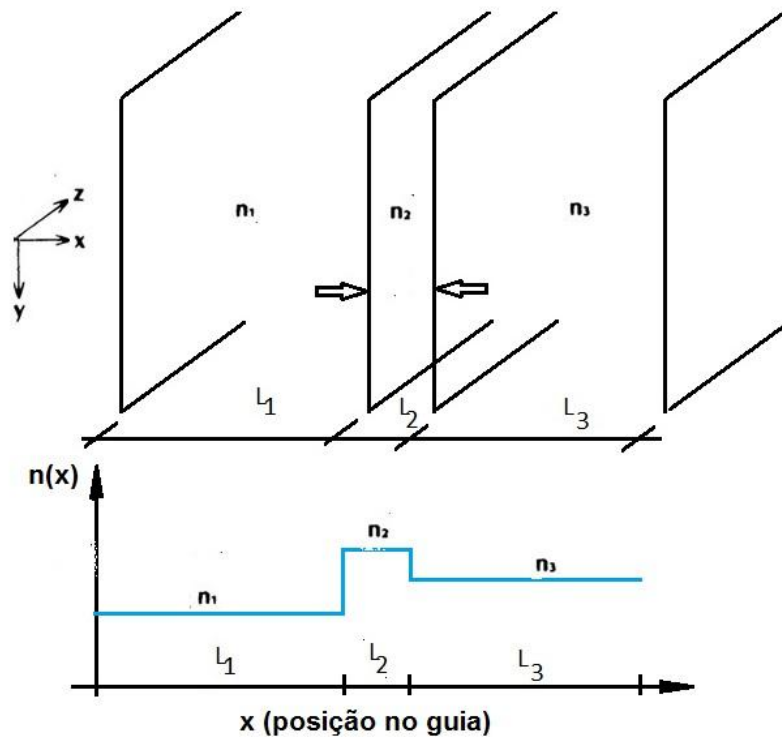
Solução numérica

BPM no domínio da frequência - modelagem

Solução numérica

Vamos, por simplicidade, estudar o caso TE, em meios homogêneos, isotópicos e sem perdas.

$$\nabla^2 E + K^2 E = 0$$



$$\frac{\partial^2 E}{\partial x^2} + \frac{\partial^2 E}{\partial y^2} + \frac{\partial^2 E}{\partial z^2} + k^2 E = 0 \quad (1)$$

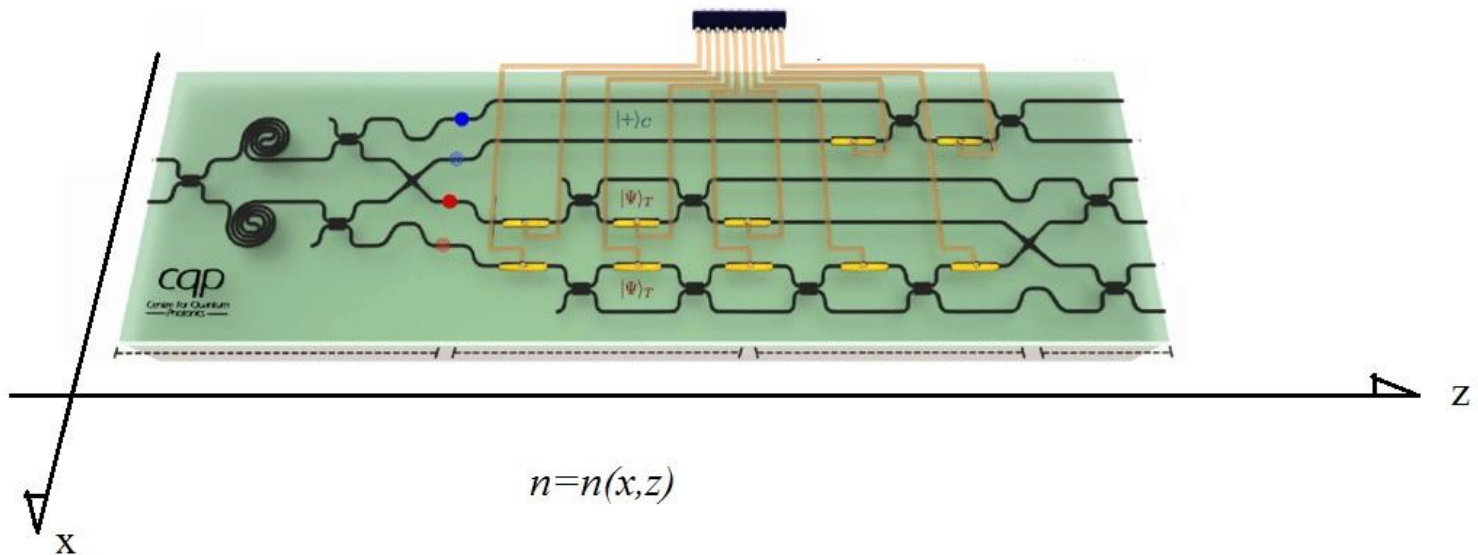
$$k = n(x, z) k_0 \quad (2)$$

$$\frac{\partial^2}{\partial y^2} = 0 \quad (3)$$



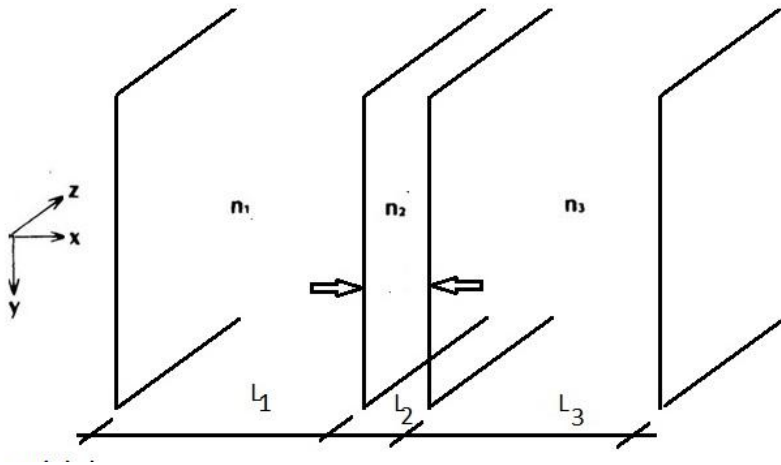
?

BPM no domínio da frequência - modelagem



Dependência do índice de refração do guia com $n(x,z)$

BPM no domínio da frequência - modelagem



Considerando

$$E = E(x, z) = E_0(x, z)e^{-j\beta z} \quad (4)$$

então..

$$\text{mas... } \beta = n_{eff}k_0$$

$$\begin{aligned} \frac{\partial^2 E}{\partial z^2} &= \frac{\partial}{\partial z} \left(\frac{\partial E}{\partial z} \right) = \\ &= \frac{\partial^2 E_0}{\partial z^2} - 2jk_0 n_{eff} \frac{\partial E_0}{\partial z} + \frac{\partial^2 E_0}{\partial x^2} + k_0^2 (n^2(x, z) + n_{eff}^2) E_0 = 0 \quad (5) \end{aligned}$$

BPM no domínio da frequência - modelagem

Usando (e garantindo) a aproximação paraxial

$$\left| \frac{\partial^2 E_0}{\partial z^2} \right| \ll \left| 2k_0 n_{eff} \frac{\partial E_0}{\partial z} \right|$$

$$-2jk_0 n_{eff} \frac{\partial E_0}{\partial z} + \frac{\partial^2 E_0}{\partial x^2} + k_0^2 (n^2(x, z) + n_{eff}^2) E_0 = 0 \quad (6)$$

que reescrevendo tem-se

$$\frac{\partial E_0}{\partial z} = \frac{1}{2jk_0 n_{eff}} \frac{\partial^2 E_0}{\partial x^2} + \frac{k_0^2}{2jk_0 n_{eff}} (n^2(x, z) + n_{eff}^2) E_0 \quad (7)$$

BPM no domínio da frequência - modelagem

$$\frac{\partial E_0}{\partial z} = -\frac{j}{2k_0 n_{\text{eff}}} \frac{\partial^2 E_0}{\partial x^2} - \frac{jk_0}{2n_{\text{eff}}} (n^2(x, z) + n_{\text{eff}}^2) E_0 = H E_0 \quad (8)$$

onde o operador H é

$$H(x, z) = \left[\alpha_1 \frac{\partial^2}{\partial x^2} + \alpha_2 (n^2(x, z) + n_{\text{eff}}^2) \right] \quad (9)$$

com

$$\alpha_1 = -\frac{j}{2k_0 n_{\text{eff}}} \quad \alpha_2 = -\frac{jk_0}{2n_{\text{eff}}}$$

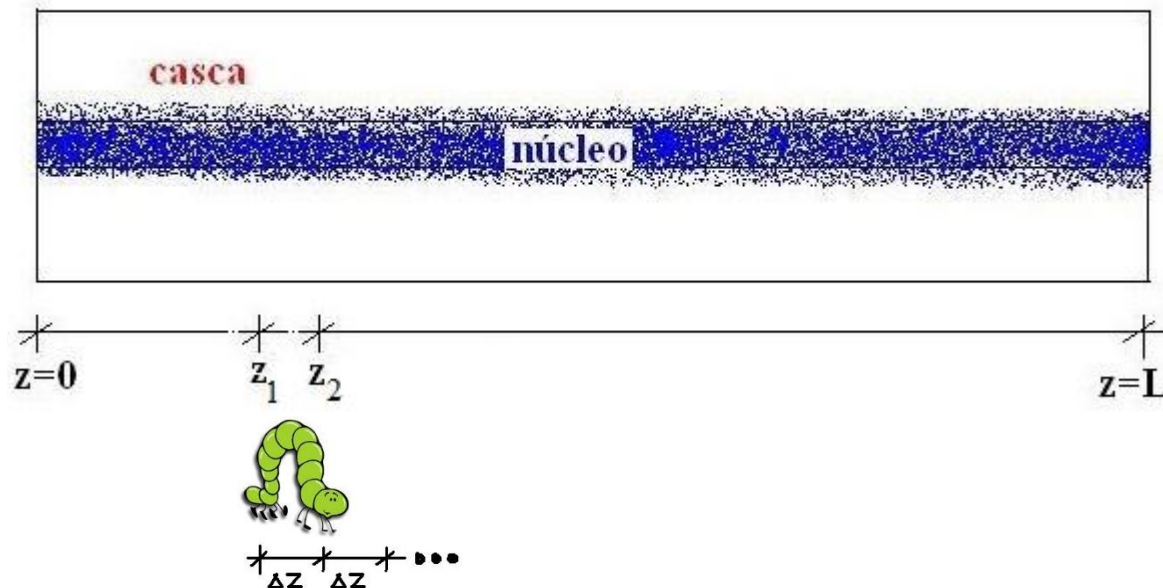
BPM no domínio da frequência - modelagem

Assim, a equação a resolver é....lembrando que $E_0 = E_0(x, z)$ é o envelope do campo.

$$\frac{\partial E_0}{\partial z} = H E_0 \quad (10)$$



Descreve a evolução do envelope ao longo de z



BPM no domínio da frequência - modelagem

Existem duas formas de se resolver a equação de propagação abaixo:

$$\frac{\partial E_0}{\partial z} = HE_0 \quad (10)$$

- Método explícito (ou método de Euler)
- Método implícito

BPM no domínio da frequência - modelagem

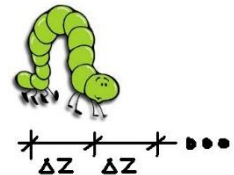
- Pelo Método explícito (ou método de Euler) se abre “explicitamente” a derivada em “z”

$$\frac{\partial E_0}{\partial z} = H E_0 \quad (10)$$

$$\frac{E_0(z_2) - E_0(z_1)}{\Delta z} = H E_0$$

$$E_0(z_2) = \Delta z H E_0 + E_0(z_1)$$

 Vetor em z_2  Operador  Vetor em z_1



$$\Delta z = z_2 - z_1$$

...lembrar que $E_0 = E_0(x, z)$ e que, por simplicidade na notação estamos usando $E_0(z)$.

...da mesma forma $H = H(x, z)$ e que, por simplicidade na notação estamos usando $H(z)$.

BPM no domínio da frequência - modelagem

- Pelo Método implícito a derivada é resolvida por um processo de integração

Resolvendo (10) temos:

$$\frac{\left(\frac{\partial E_0}{\partial z}\right)}{E_0} = H \quad (11)$$

$$\int_{z_1}^{z_2} \frac{\left(\frac{\partial E_0}{\partial z}\right)}{E_0} dz = \int_{z_1}^{z_2} H dz \quad \dots \text{ e ainda...} \quad \int_{z_1}^{z_2} \frac{dE_0}{E_0} = \int_{z_1}^{z_2} H dz \quad (12)$$

$$\ln(E_0) \Big|_{z_1}^{z_2} = \int_{z_1}^{z_2} H dz \quad (13)$$

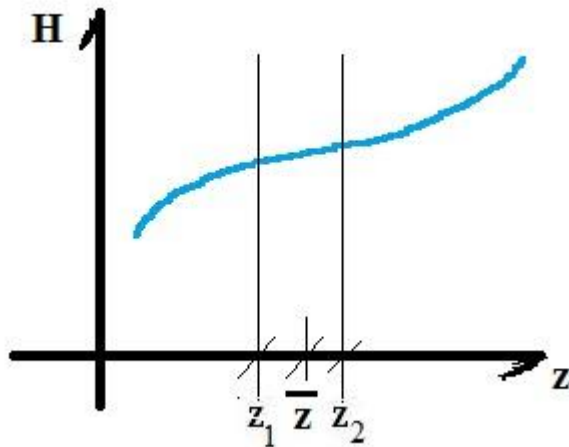
$$E_0(z_2) = e^{\int_{z_1}^{z_2} H dz} \cdot E_0(z_1) \quad (14)$$

...lembrar que $E_0 = E_0(x, z)$ e que, por simplicidade na notação estamos usando $E_0(z)$.

...da mesma forma $H = H(x, z)$ e que, por simplicidade na notação estamos usando $H(z)$.

BPM no domínio da frequência - modelagem

Se $z_2 - z_1 = \Delta z \ll 1$, então:



...podemos dizer que:

$$\int_{z_1}^{z_2} H dz \approx H(\bar{z}) \Delta z$$

...logo, (14) pode ser escrita como:

$$E_0(z_2) = e^{H(\bar{z})\Delta z} \cdot E_0(z_1) \quad (15)$$

BPM no domínio da frequência - modelagem

...podemos simplificar $e^{H(\bar{z})\Delta z}$ uma vez que $\Delta z \ll 1$ e portanto $H(\bar{z})\Delta z \ll 1$

Podemos usar $e^x \approx \frac{1 + \frac{x}{2}}{1 - \frac{x}{2}}$ para $x \ll 1$

Então (15) $E_0(z_2) = e^{H(\bar{z})\Delta z} \cdot E_0(z_1)$ pode ser reescrita como

$$E_0(z_2) = \left(\frac{1 + H(\bar{z})\frac{\Delta z}{2}}{1 - H(\bar{z})\frac{\Delta z}{2}} \right) \cdot E_0(z_1) \quad (16)$$

BPM no domínio da frequência - modelagem

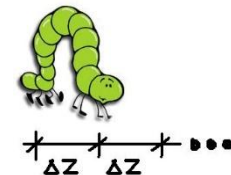
Tendo em vista que a dependência de H em z está no índice de refração, e que este é suposto variar “lentamente” em z (aproximação paraxial), então:

$$H(\bar{z}) \approx H(z_1)$$

Podemos , finalmente, escrever (16) tal que

$$E_0(z_2) = \left(\frac{1 + H(z_1) \frac{\Delta z}{2}}{1 - H(z_1) \frac{\Delta z}{2}} \right) \cdot E_0(z_1) \quad (17)$$

$$E_0(x, z_2) = \left(\frac{1 + H(x, z_1) \frac{\Delta z}{2}}{1 - H(x, z_1) \frac{\Delta z}{2}} \right) \cdot E_0(x, z_1)$$



(18)

BPM no domínio da frequência - modelagem

$$E_0(x, z_2) = \left(\frac{1 + H(x, z_1) \frac{\Delta z}{2}}{1 - H(x, z_1) \frac{\Delta z}{2}} \right) \cdot E_0(x, z_1)$$



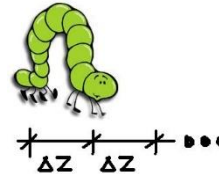
Vetor em z_2



Operador



Vetor em z_1



(18)

Vimos que

$$H(x, z) = \left[\alpha_1 \frac{\partial^2}{\partial x^2} + \alpha_2 (n^2(x, z) + n_{\text{eff}}^2) \right]$$

com

$$\alpha_1 = -\frac{j}{2k_0 n_{\text{eff}}} \quad \alpha_2 = -\frac{jk_0}{2n_{\text{eff}}}$$

BPM no domínio da frequência - modelagem

Vimos em (9) que

$$H(x, z) = \left[\alpha_1 \frac{\partial^2}{\partial x^2} + \alpha_2 (n^2(x, z) + n_{\text{eff}}^2) \right]$$

n_{eff} é o índice de refração efetivo do guia em que a propagação será simulada

$n(x, z)$ perfil do índice de refração em “z”

com $\alpha_1 = -\frac{j}{2k_0 n_{\text{eff}}}$ $\alpha_2 = -\frac{jk_0}{2n_{\text{eff}}}$

$\frac{\partial^2}{\partial x^2}$ numericamente é uma matriz ...

$$\frac{1}{\Delta x^2} \begin{pmatrix} -2 & 1 & 0 & 0 & 0 & 0 & 0 \\ 1 & -2 & 1 & 0 & 0 & 0 & 0 \\ 0 & 1 & -2 & 1 & 0 & 0 & 0 \\ 0 & 0 & 1 & -2 & 1 & 0 & 0 \\ 0 & 0 & 0 & 1 & -2 & 1 & 0 \\ 0 & 0 & 0 & 0 & 1 & -2 & 1 \\ 0 & 0 & 0 & 0 & 0 & 1 & -2 \end{pmatrix}$$

$(n^2(x, z) + n_{\text{eff}}^2)$ é uma matriz ...

$$\begin{pmatrix} n_1^2 + n_{\text{eff}}^2 & 0 & 0 & 0 & 0 & 0 & 0 \\ 0 & n_2^2 + n_{\text{eff}}^2 & 0 & 0 & 0 & 0 & 0 \\ 0 & 0 & n_3^2 + n_{\text{eff}}^2 & 0 & 0 & 0 & 0 \\ 0 & 0 & 0 & n_4^2 + n_{\text{eff}}^2 & 0 & 0 & 0 \\ 0 & 0 & 0 & 0 & n_5^2 + n_{\text{eff}}^2 & 0 & 0 \\ 0 & 0 & 0 & 0 & 0 & n_6^2 + n_{\text{eff}}^2 & 0 \\ 0 & 0 & 0 & 0 & 0 & 0 & n_7^2 + n_{\text{eff}}^2 \end{pmatrix}$$

com $n_l = n(x_l, z)$

BPM no domínio da frequência - modelagem

Logo, podemos representar H_z em um dado z , numericamente, como (por exemplo, caso $n_p=7$)

$$\mathbf{H}_z = \left[\alpha_1 \frac{1}{\Delta x^2} \begin{pmatrix} -2 & 1 & 0 & 0 & 0 & 0 & 0 \\ 1 & -2 & 1 & 0 & 0 & 0 & 0 \\ 0 & 1 & -2 & 1 & 0 & 0 & 0 \\ 0 & 0 & 1 & -2 & 1 & 0 & 0 \\ 0 & 0 & 0 & 1 & -2 & 1 & 0 \\ 0 & 0 & 0 & 0 & 1 & -2 & 1 \\ 0 & 0 & 0 & 0 & 0 & 1 & -2 \end{pmatrix} + \alpha_2 \begin{pmatrix} n_1^2 + n_{\text{eff}}^2 & 0 & 0 & 0 & 0 & 0 & 0 \\ 0 & n_2^2 + n_{\text{eff}}^2 & 0 & 0 & 0 & 0 & 0 \\ 0 & 0 & n_3^2 + n_{\text{eff}}^2 & 0 & 0 & 0 & 0 \\ 0 & 0 & 0 & n_4^2 + n_{\text{eff}}^2 & 0 & 0 & 0 \\ 0 & 0 & 0 & 0 & n_5^2 + n_{\text{eff}}^2 & 0 & 0 \\ 0 & 0 & 0 & 0 & 0 & n_6^2 + n_{\text{eff}}^2 & 0 \\ 0 & 0 & 0 & 0 & 0 & 0 & n_7^2 + n_{\text{eff}}^2 \end{pmatrix} \right] \quad (19)$$

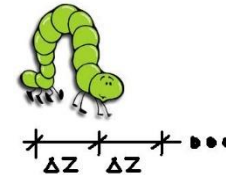
uma vez que $n_l = n(x_l, z)$

$$\text{com} \quad \alpha_1 = -\frac{j}{2k_0 n_{\text{eff}}} \quad \alpha_2 = -\frac{jk_0}{2n_{\text{eff}}}$$

BPM no domínio da frequência - modelagem

Em (18) escrevemos a equação da propagação como:

$$E_0(x, z_2) = \left(\frac{1 + H(x, z_1) \frac{\Delta z}{2}}{1 - H(x, z_1) \frac{\Delta z}{2}} \right) \cdot E_0(x, z_1)$$



(18)

Que pode ser reescrita como:

$$\left(1 - H(x, z_1) \frac{\Delta z}{2} \right) E_0(x, z_2) = \left(1 + H(x, z_1) \frac{\Delta z}{2} \right) \cdot E_0(x, z_1)$$

(20)

BPM no domínio da frequência - modelagem

A equação (20) pode ser reescrita, na forma matricial (para solução numérica) como:

$$\left(1 - H(x, z_1) \frac{\Delta z}{2}\right) E_0(x, z_2) = \left(1 + H(x, z_1) \frac{\Delta z}{2}\right) \cdot E_0(x, z_1) \quad (20)$$

$$\left(\mathbf{I} - \mathbf{H}_{z_1} \frac{\Delta z}{2}\right) \mathbf{E}_{0_{z_2}} = \left(\mathbf{I} + \mathbf{H}_{z_1} \frac{\Delta z}{2}\right) \cdot \mathbf{E}_{0_{z_1}} \quad (21)$$

Na qual \mathbf{I} é a matriz identidade e \mathbf{H}_{z_1} é a matriz dada por (19).

BPM no domínio da frequência - modelagem

Em (21) podemos chamar de:

$$\mathbf{A} = \left(\mathbf{I} - \mathbf{H}_{z_1} \frac{\Delta z}{2} \right) \quad e \quad \mathbf{B} = \left(\mathbf{I} + \mathbf{H}_{z_1} \frac{\Delta z}{2} \right)$$

Assim

$$\mathbf{A} \mathbf{E}_{0z_2} = \mathbf{B} \mathbf{E}_{0z_1} \quad (22)$$

ou ainda

$$\mathbf{E}_{0z_2} = \mathbf{A}^{-1} \mathbf{B} \mathbf{E}_{0z_1} \quad (23)$$



Montando as matrizes \mathbf{A} e \mathbf{B} e tendo o campo inicial em z_1 , calcula-se o campo em z_2 !!

BPM no domínio da frequência - modelagem

As matrizes \mathbf{A} e \mathbf{B} são calculadas como, usando (19):

$$\mathbf{A} = \left(\mathbf{I} - \mathbf{H}_{z_1} \frac{\Delta z}{2} \right) \quad e \quad \mathbf{B} = \left(\mathbf{I} + \mathbf{H}_{z_1} \frac{\Delta z}{2} \right)$$

$$\mathbf{A} = \begin{pmatrix} 1 & 0 & 0 & 0 & 0 & 0 & 0 & 0 \\ 0 & 1 & 0 & 0 & 0 & 0 & 0 & 0 \\ 0 & 0 & 1 & 0 & 0 & 0 & 0 & 0 \\ 0 & 0 & 0 & 1 & 0 & 0 & 0 & 0 \\ 0 & 0 & 0 & 0 & 1 & 0 & 0 & 0 \\ 0 & 0 & 0 & 0 & 0 & 1 & 0 & 0 \\ 0 & 0 & 0 & 0 & 0 & 0 & 1 & 0 \\ 0 & 0 & 0 & 0 & 0 & 0 & 0 & 1 \end{pmatrix} - \frac{\Delta z}{2} \left(\alpha_1 \frac{1}{\Delta x^2} \begin{pmatrix} -2 & 1 & 0 & 0 & 0 & 0 & 0 & 0 \\ 1 & -2 & 1 & 0 & 0 & 0 & 0 & 0 \\ 0 & 1 & -2 & 1 & 0 & 0 & 0 & 0 \\ 0 & 0 & 1 & -2 & 1 & 0 & 0 & 0 \\ 0 & 0 & 0 & 1 & -2 & 1 & 0 & 0 \\ 0 & 0 & 0 & 0 & 1 & -2 & 1 & 0 \\ 0 & 0 & 0 & 0 & 0 & 1 & -2 & 1 \\ 0 & 0 & 0 & 0 & 0 & 0 & 1 & -2 \end{pmatrix} + \alpha_2 \begin{pmatrix} n_1^2 + n_{\text{eff}}^2 & 0 & 0 & 0 & 0 & 0 & 0 & 0 \\ 0 & n_2^2 + n_{\text{eff}}^2 & 0 & 0 & 0 & 0 & 0 & 0 \\ 0 & 0 & n_3^2 + n_{\text{eff}}^2 & 0 & 0 & 0 & 0 & 0 \\ 0 & 0 & 0 & n_4^2 + n_{\text{eff}}^2 & 0 & 0 & 0 & 0 \\ 0 & 0 & 0 & 0 & n_5^2 + n_{\text{eff}}^2 & 0 & 0 & 0 \\ 0 & 0 & 0 & 0 & 0 & n_6^2 + n_{\text{eff}}^2 & 0 & 0 \\ 0 & 0 & 0 & 0 & 0 & 0 & n_7^2 + n_{\text{eff}}^2 & 0 \\ 0 & 0 & 0 & 0 & 0 & 0 & 0 & n_7^2 + n_{\text{eff}}^2 \end{pmatrix} \right)$$

$$\mathbf{B} = \begin{pmatrix} 1 & 0 & 0 & 0 & 0 & 0 & 0 & 0 \\ 0 & 1 & 0 & 0 & 0 & 0 & 0 & 0 \\ 0 & 0 & 1 & 0 & 0 & 0 & 0 & 0 \\ 0 & 0 & 0 & 1 & 0 & 0 & 0 & 0 \\ 0 & 0 & 0 & 0 & 1 & 0 & 0 & 0 \\ 0 & 0 & 0 & 0 & 0 & 1 & 0 & 0 \\ 0 & 0 & 0 & 0 & 0 & 0 & 1 & 0 \\ 0 & 0 & 0 & 0 & 0 & 0 & 0 & 1 \end{pmatrix} + \frac{\Delta z}{2} \left(\alpha_1 \frac{1}{\Delta x^2} \begin{pmatrix} -2 & 1 & 0 & 0 & 0 & 0 & 0 & 0 \\ 1 & -2 & 1 & 0 & 0 & 0 & 0 & 0 \\ 0 & 1 & -2 & 1 & 0 & 0 & 0 & 0 \\ 0 & 0 & 1 & -2 & 1 & 0 & 0 & 0 \\ 0 & 0 & 0 & 1 & -2 & 1 & 0 & 0 \\ 0 & 0 & 0 & 0 & 1 & -2 & 1 & 0 \\ 0 & 0 & 0 & 0 & 0 & 1 & -2 & 1 \\ 0 & 0 & 0 & 0 & 0 & 0 & 1 & -2 \end{pmatrix} + \alpha_2 \begin{pmatrix} n_1^2 + n_{\text{eff}}^2 & 0 & 0 & 0 & 0 & 0 & 0 & 0 \\ 0 & n_2^2 + n_{\text{eff}}^2 & 0 & 0 & 0 & 0 & 0 & 0 \\ 0 & 0 & n_3^2 + n_{\text{eff}}^2 & 0 & 0 & 0 & 0 & 0 \\ 0 & 0 & 0 & n_4^2 + n_{\text{eff}}^2 & 0 & 0 & 0 & 0 \\ 0 & 0 & 0 & 0 & n_5^2 + n_{\text{eff}}^2 & 0 & 0 & 0 \\ 0 & 0 & 0 & 0 & 0 & n_6^2 + n_{\text{eff}}^2 & 0 & 0 \\ 0 & 0 & 0 & 0 & 0 & 0 & n_7^2 + n_{\text{eff}}^2 & 0 \\ 0 & 0 & 0 & 0 & 0 & 0 & 0 & n_7^2 + n_{\text{eff}}^2 \end{pmatrix} \right)$$

BPM no domínio da frequência - modelagem

Relembrando...

$$E_{0_{z_2}} = \mathbf{A}^{-1} \mathbf{B} E_{0_{z_1}} \quad (23)$$

Se um campo for acoplado ao guia em $z=0$, por exemplo, $E_{0_{z=0}}$ então o campo $E_{0_{z=\Delta z}}$ em $z= \Delta z$ pode ser calculado como

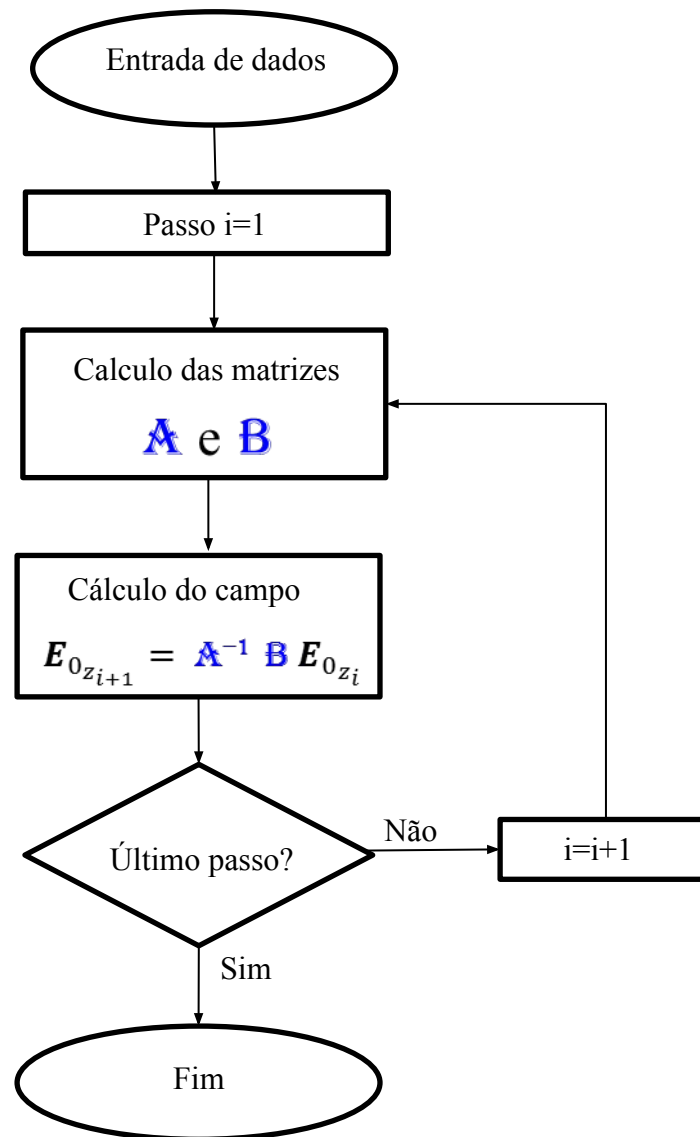
$$E_{0_{z=\Delta z}} = \mathbf{A}^{-1} \mathbf{B} E_{0_{z=0}} \quad 1^{\text{a}} \text{ iteração}$$

Se quisermos calcular o campo em $z= 2\Delta z$, o campo em $z= \Delta z$ $E_{0_{z=\Delta z}}$ será usado como campo inicial.

$$E_{0_{z=2\Delta z}} = \mathbf{A}^{-1} \mathbf{B} E_{0_{z=\Delta z}} \quad 2^{\text{a}} \text{ iteração}$$
$$\vdots$$

Lembrando que \mathbf{A} e \mathbf{B} devem ser recalculados a cada iteração uma vez que dependem do índice de refração $n(x, z)$.

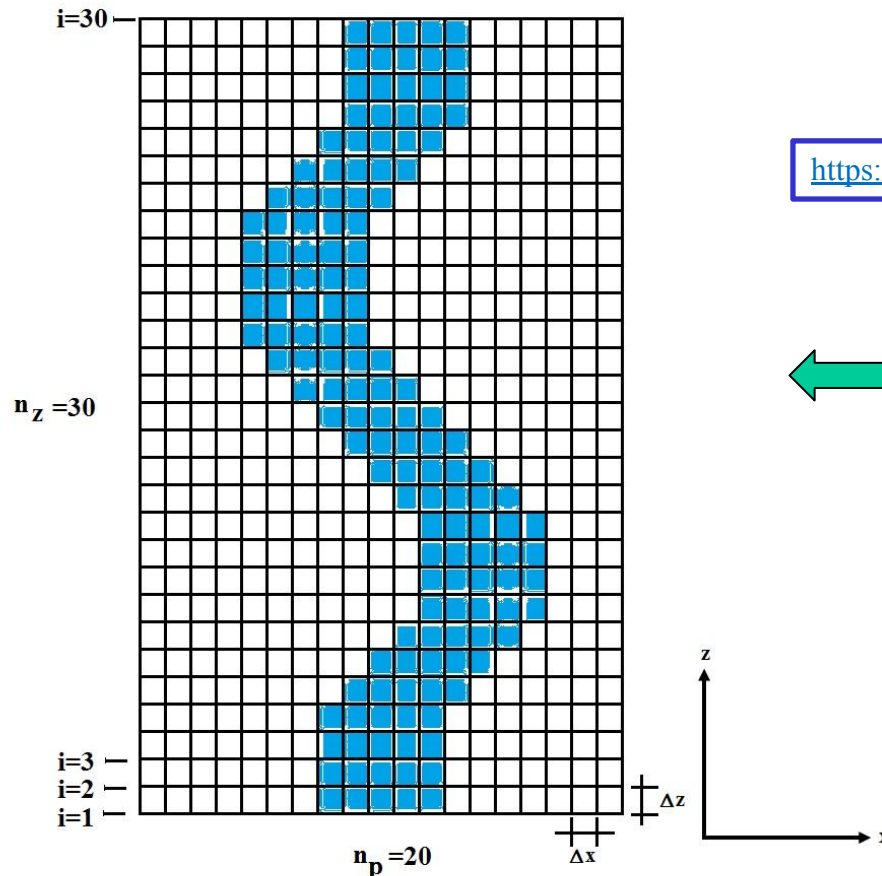
BPM no domínio da frequência - implementação



Dados do guia , campo inicial , quantidade de passos, valor do Δz

Gráficos (2D e 3D) mostrando a propagação do campo.

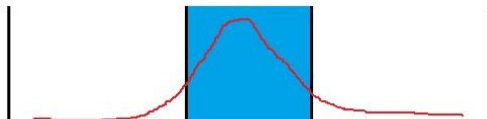
BPM no domínio da frequência - implementação



https://www.cin.ufpe.br/~cabm/visao/Aula03_ImagemMatLab.pdf

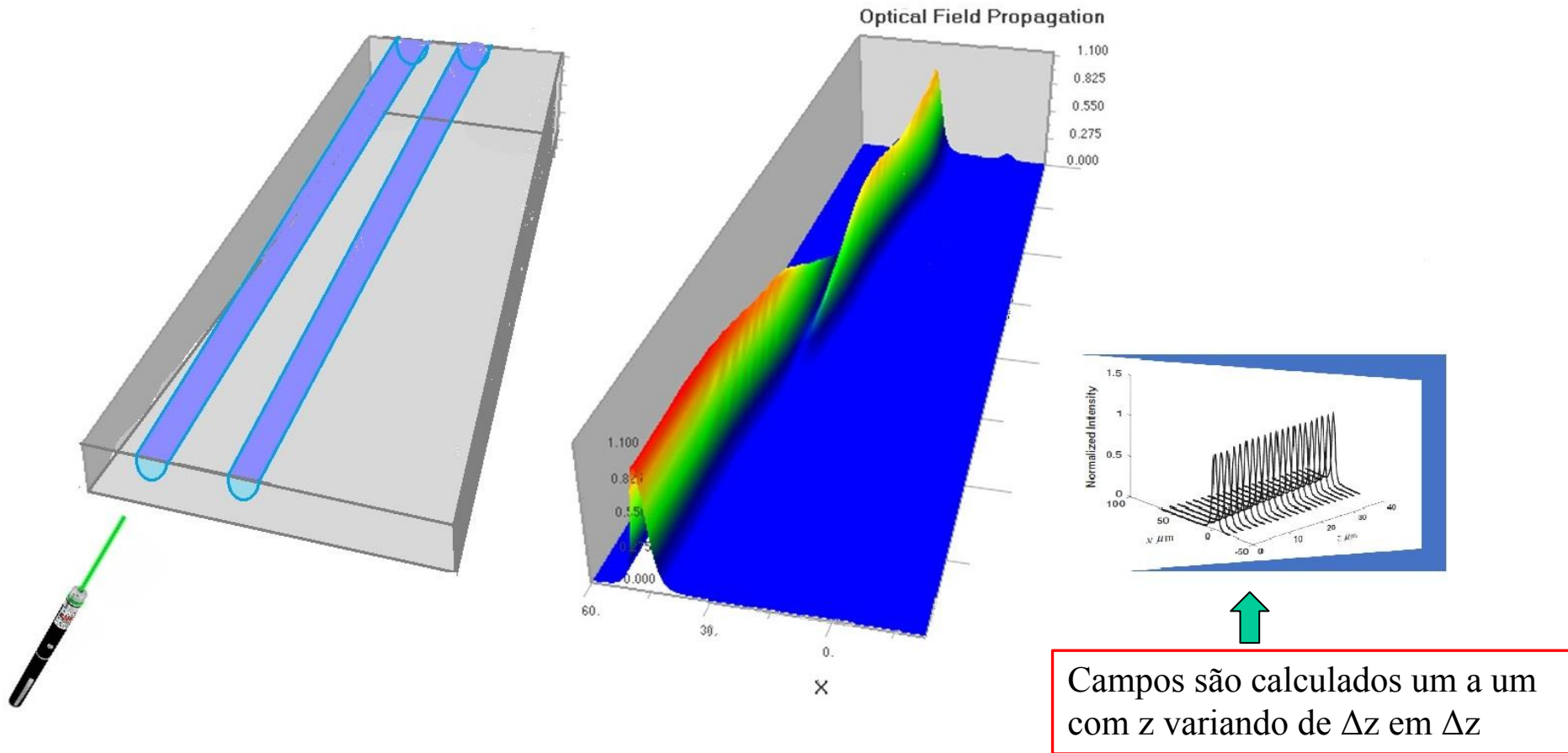
O guia pode ser uma figura em *bitmap* com tamanho $n_p \times n_z$

O índice de refração para a montagem da matriz H é obtido retirando uma linha do *bitmap*.



Campo inicial e n_{eff} vem da análise modal

BPM no domínio da frequência - implementação



A luz, sem modulação (CW), é acoplada ao guia de onda.
Observa-se um sinal “contínuo” propagando-se pelo guia de onda.

BPM no domínio da frequência - implementação

Relembrando...

$$E_{0_{z_2}} = \mathbf{A}^{-1} \mathbf{B} E_{0_{z_1}} \quad (23)$$

A maior dificuldade na solução da equação (23) é a inversão da matriz \mathbf{A} .

A multiplicação da matriz \mathbf{B} com o campo $E_{0_{z_1}}$ é rápida. O Matlab reconhece a esparcidade tridiagonal da matriz \mathbf{B} e realiza a multiplicação de forma rápida.

Já a inversão da matriz \mathbf{A} não é tão fácil. Algumas versões do Matlab fazem isso de forma rápida. Outras versões do Matlab possuem uma função denominada "[tridiag](#)" que permitem a inversão da matriz \mathbf{A} e a multiplicação por um vetor (simultaneamente) e de forma rápida, ou seja:

$$R = \mathbf{A}^{-1} v$$

Perceber que

$$E_{0_{z_2}} = \mathbf{A}^{-1} \underbrace{\mathbf{B} E_{0_{z_1}}}_{\text{vetor}}$$

BPM no domínio da frequência - implementação

Caso a versão em uso do Matlab ou Octave não possuam a Tridiag, a função se encontra no sala Teams da disciplina

A chamada é $u = \text{tridiag}(a, b, c, r, np)$

$$E_{0_{z_2}} = \underbrace{A^{-1} B}_{\text{tridiag}(a, b, c, r, np)} E_{0_{z_1}}$$

“np” é a quantidade de pontos em “x”
(dimensão das matrizes)

“r” é o vetor produto de $(B E_{0_{z_1}})$

$A =$

0						
A_{11}	A_{12}	0	0	0	0	0
A_{21}	A_{22}	A_{23}	0	0	0	0
0	A_{32}	A_{33}	A_{34}	0	0	0
0	0	A_{43}	A_{44}	A_{45}	0	0
0	0	0	A_{54}	A_{55}	A_{56}	0
0	0	0	0	A_{65}	A_{66}	A_{67}
0	0	0	0	0	A_{76}	A_{77}

“a” é o vetor que contém a sub-diagonal

“b” é o vetor que contém a diagonal.

“c” é o vetor que contém a super-diagonal

Perceber a adição de “zero” em “a” e “c”

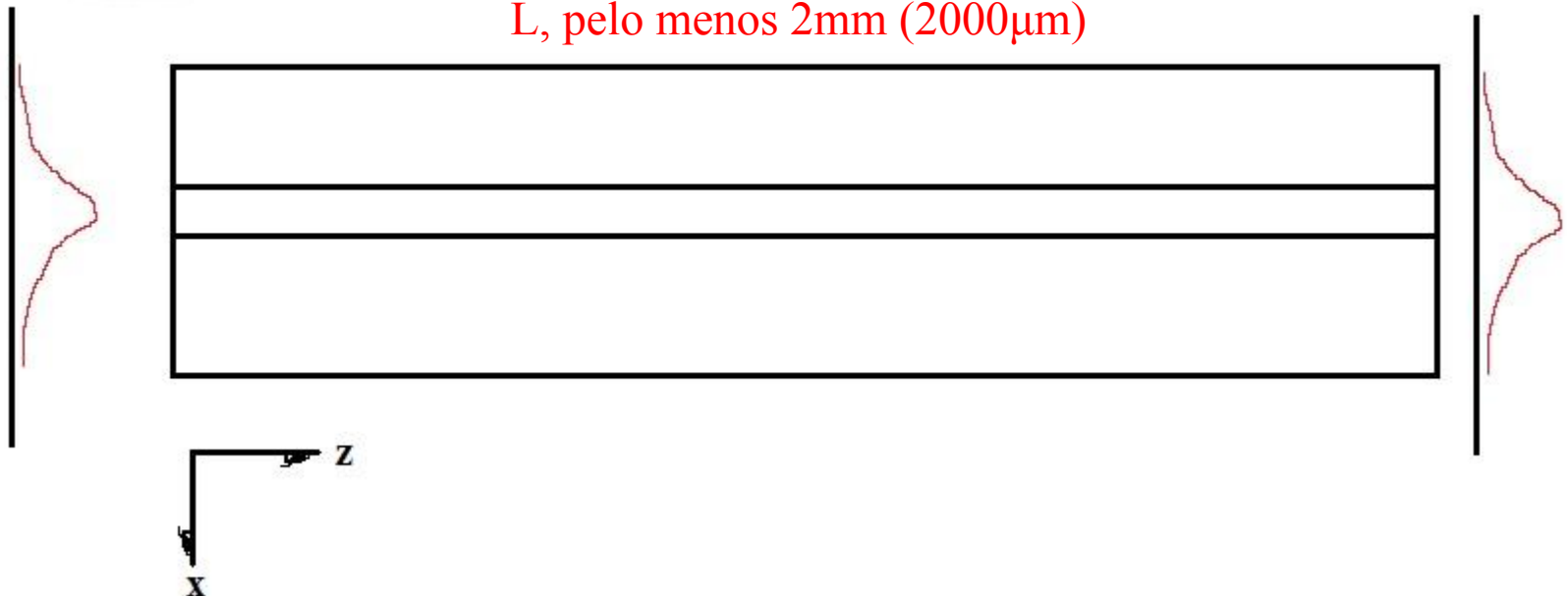
BPM no domínio da frequência - testes

Teste 1

$$\Delta z \leq \frac{\lambda_g}{2} \lambda_g = \frac{\lambda_0}{n_{eff}} \Delta z \leq \frac{\lambda_0}{2n_{eff}}$$

Modo da análise
modal -

L, pelo menos 2mm (2000 μ m)



Resultado esperado: o campo deve sair igual àquele que entrou

BPM no domínio da frequência - testes

Teste 2

$$E_0(x, z = 0) = A_m e^{-\left(\frac{x-x_c}{\sigma}\right)^2}$$

Centro do guia

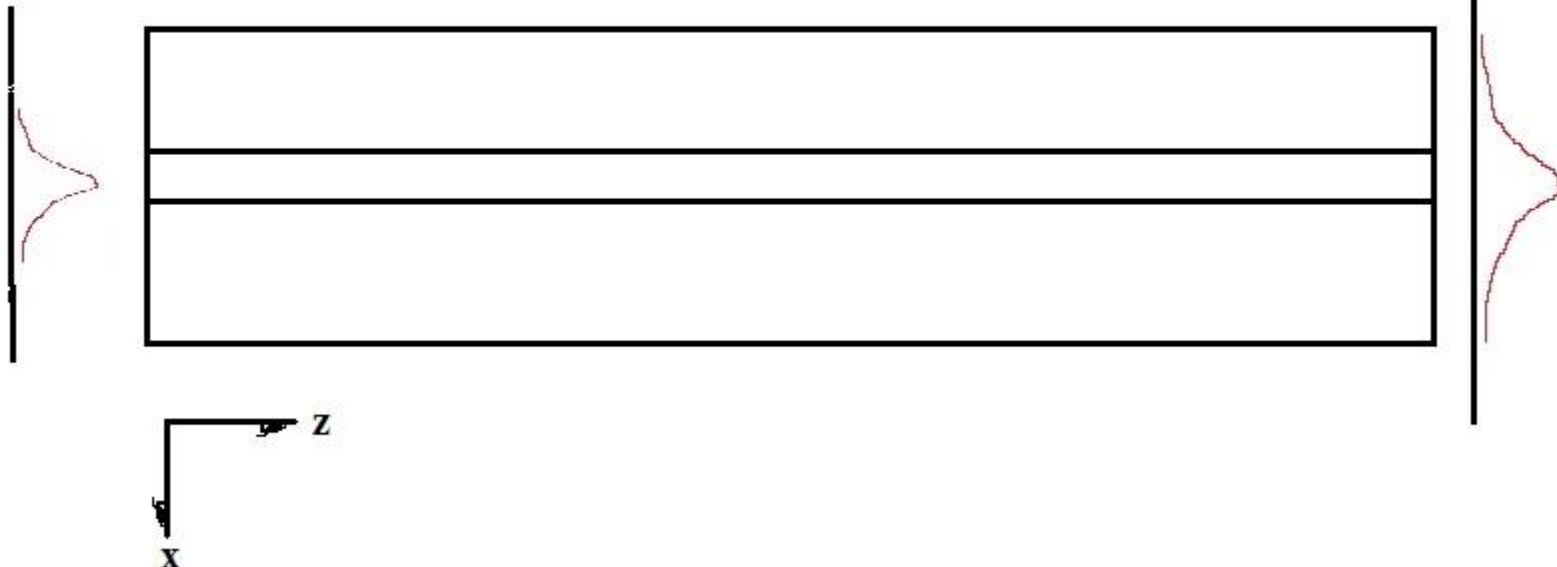
Escolher

Campo de formato gaussiano

$$\Delta z \leq \frac{\lambda_g}{2} \lambda_g = \frac{\lambda_0}{n_{eff}} \Delta z \leq \frac{\lambda_0}{2n_{eff}}$$

Campo do Modo da análise modal -

L, pelo menos 2mm (2000 μ m)

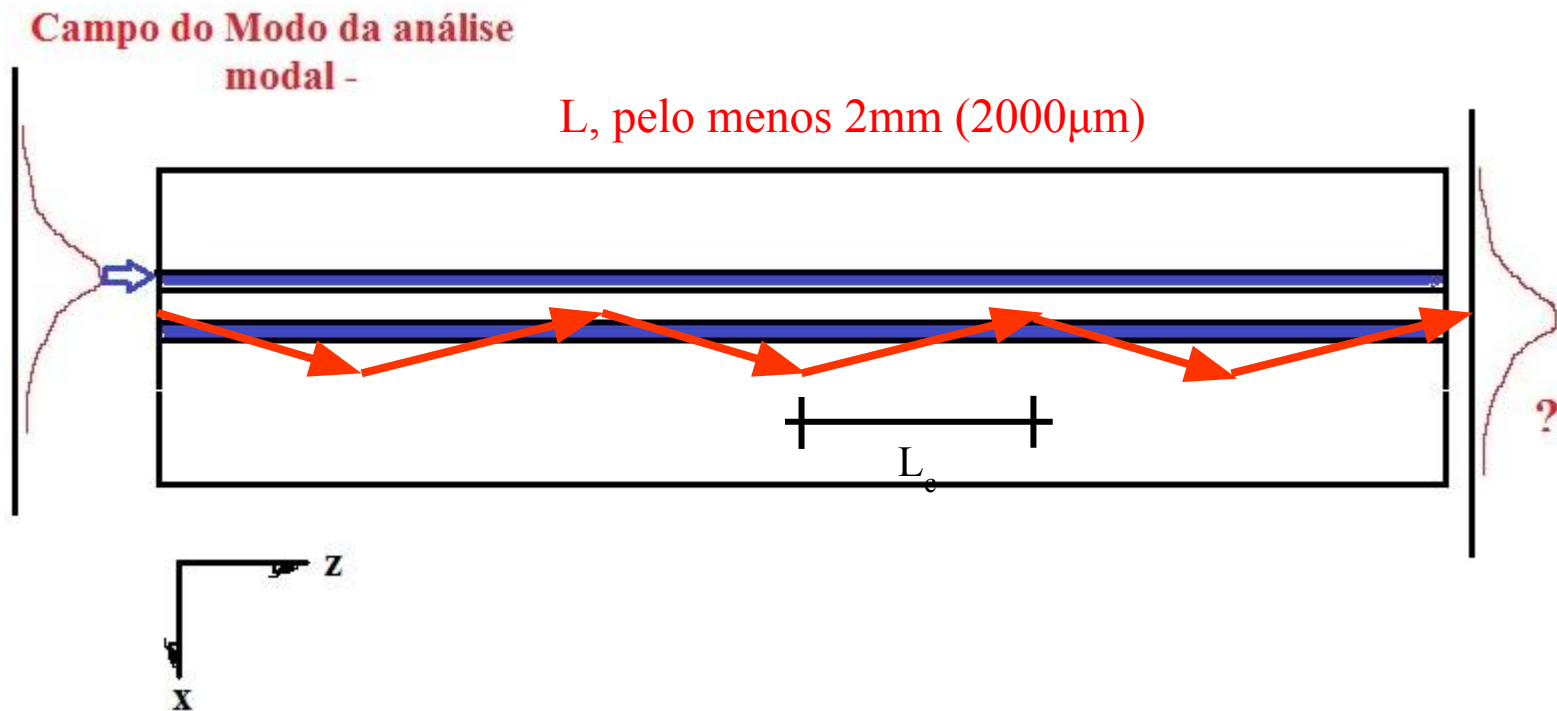


Resultado esperado: o campo entra com formato gaussiano e deve sair igual ao da análise modal

BPM no domínio da frequência - testes

Teste 3

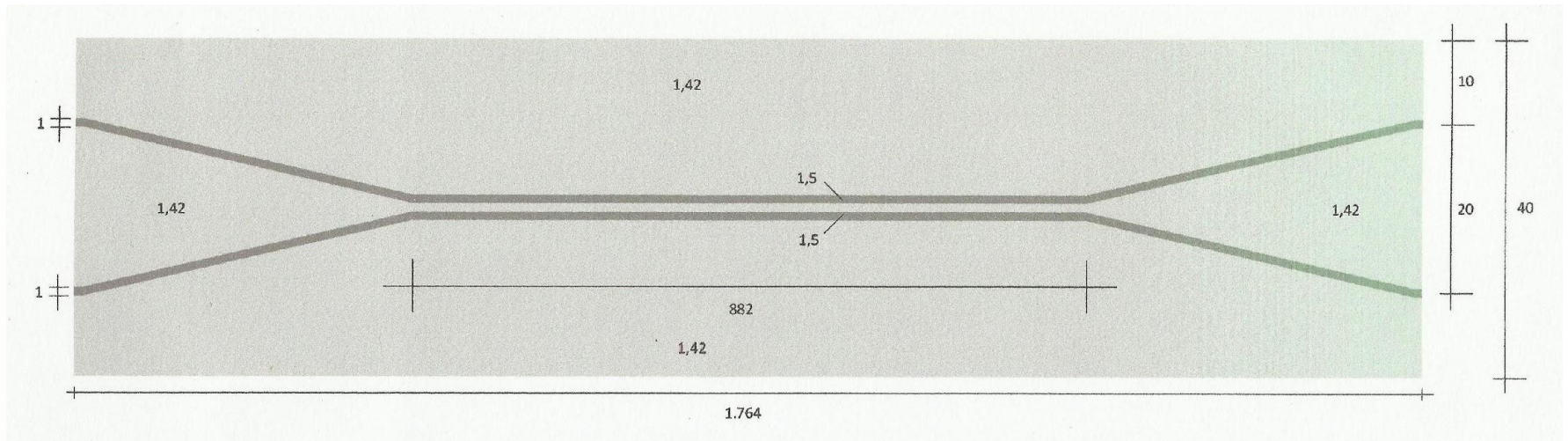
$$\Delta z \leq \frac{\lambda_g}{2} \lambda_g = \frac{\lambda_0}{n_{eff}} \Delta z \leq \frac{\lambda_0}{2n_{eff}}$$



Resultado esperado: o campo faz zig-zag em intervalos regulares. Medir esse intervalo (L_c – Comprimento de acoplamento). L_c depende do comprimento de onda.

BPM no domínio da frequência - Tarefa

$$\Delta z \leq \frac{\lambda_g}{2} \lambda_g = \frac{\lambda_0}{n_{eff}} \Delta z \leq \frac{\lambda_0}{2n_{eff}}$$



Resultado esperado: porta de saída depende do comprimento de onda de entrada